



UNIVERSIDAD NACIONAL AUTONOMA DE MEXICO

FACULTAD DE INGENIERIA

SISTEMA DE DESPLIEGUE DE SIGNOS VITALES
BASADO EN EL MICROCONTROLADOR 68HC11

T E S I S

QUE PARA OBTENER EL TITULO DE :

INGENIERO MECANICO ELECTRICISTA

(AREA ELECTRICA - ELECTRONICA)

P R E S E N T A :

SANTOS MARTIN LOPEZ ESTRADA

Director de Tesis: M. I. Esau Vicente Vivas



MEXICO, D. F.

TESIS CON
FALLA DE ORIGEN

1994



UNAM – Dirección General de Bibliotecas Tesis Digitales Restricciones de uso

DERECHOS RESERVADOS © PROHIBIDA SU REPRODUCCIÓN TOTAL O PARCIAL

Todo el material contenido en esta tesis está protegido por la Ley Federal del Derecho de Autor (LFDA) de los Estados Unidos Mexicanos (México).

El uso de imágenes, fragmentos de videos, y demás material que sea objeto de protección de los derechos de autor, será exclusivamente para fines educativos e informativos y deberá citar la fuente donde la obtuvo mencionando el autor o autores. Cualquier uso distinto como el lucro, reproducción, edición o modificación, será perseguido y sancionado por el respectivo titular de los Derechos de Autor.

Agradecimientos

En estas líneas quiero agradecer a todas aquellas personas que conciente e inconcientemente colaboraron en el diseño e implementación del presente trabajo, agradeciendo de manera especial a las siguientes personas:

A mis padres Daniel y Tomasa por la oportunidad y el apoyo brindado para lograr mis metas y objetivos.

A mis hermanos Daniel, Alejandro y Noemi por su apoyo brindado.

A Isabel por su apoyo y comprensión brindados todo este tiempo para cumplir con mis metas.

A familiares, amigos y maestros que colaboraron de una u otra manera en mi formación académica.

A Esaú Vicente por su apoyo, asesoría y paciencia brindados para la realización de este trabajo.

A Donaldo Rojas por la asesoría técnica brindada.

A Ricardo, Mauricio y Leonardo por el magnífico grupo de trabajo formado.

Al Instituto de Ingeniería, a la coordinación de automatización y a sus becarios por permitirme usar sus instalaciones para la elaboración del presente trabajo.

A todos mil gracias.

Santos Martín López Estrada

	Pag.
1.- Introducción.	
1.1 Antecedentes	1
1.2 Módulo de amplificación y filtrado	3
1.3 Módulo básico de monitoreo	5
1.4 Enlace de comunicaciones	5
1.5 Puesto central de enfermeras	6
2.- Diseño y construcción de un módulo básico para adquisición local de signos vitales.	
2.1 Introducción	7
2.2 Módulo de amplificación y filtrado	8
2.3 Descripción del microcontrolador MC68HC11	11
2.4 Arquitectura diseñada	14
3.- Muestreo, despliegue y transmisión de datos.	
3.1 Introducción	19
3.2 Muestreo de signos vitales	20
3.3 Despliegue de signos vitales	25
3.4 Transmisión de datos	26
4.- Interacción entre el módulo básico de monitoreo y el puesto central de enfermeras.	
4.1 Introducción	29
4.2 Transmisión serial del módulo básico de monitoreo	31
4.3 Protocolos de comunicación y programación para la interacción entre el módulo básico y el puesto central de enfermeras	33

5.- Programación interactiva elaborada para el puesto central de enfermeras.	
5.1 Introducción	38
5.2 Programación interactiva con el personal médico	39
5.3 Programación para monitoreo de pacientes	42
6.- Pruebas realizadas al módulo básico de monitoreo y al puesto central de enfermeras.	
6.1 Introducción	48
6.2 Pruebas modulares	49
6.3 Pruebas realizadas con simulador	50
6.4 Pruebas realizadas con paciente	52
7.- Conclusiones y recomendaciones.	57
Referencias	60
Apendice A.	A1
Apendice B.	B1

INTRODUCCIÓN

1.1.- Antecedentes

Con los avances tecnológicos recientes en las áreas de electrónica y computación, ha tomado gran auge el diseño de equipos digitales basados en microprocesadores y microcontroladores, siendo estos últimos y los dispositivos programables, los que constituyen una magnífica herramienta para diseñar equipos atractivos en cuanto a costo, volumen, peso, modularidad y versatilidad de operación. Bajo este entorno destacan las oportunidades para países como el nuestro para contribuir a solucionar problemas de automatización, entre los que se encuentran los relacionados con equipo biomédico; en esta área, un problema en particular lo constituye el alto costo de equipos importados que realizan el monitoreo y despliegue de signos vitales tales como el electrocardiograma (ECG), frecuencia respiratoria (FR), frecuencia cardíaca (FC), presión sanguínea (PS) y temperatura (T).

En nuestro país, en los centros de investigación de universidades y centros de salud pública, se han realizado diversos diseños de equipo biomédico para el

monitoreo de signos vitales; equipos que se fabrican en pequeña escala y que son utilizados en el ambiente clínico con buenos resultados, como es el caso del electrocardiotacómetro, monitor de frecuencia cardiaca, monitor de electrocardiografía entre otros [1]. Estos equipos se han diseñado y probado en el centro de desarrollo y aplicaciones tecnológicas (CEDAT) de la secretaría de salubridad y asistencia (SSA); como es el caso también de la terminal de electrocardiografía desarrollada por el Instituto Nacional de Cardiología Ignacio Chavez y los diseños realizados en la Universidad Autónoma Metropolitana (UAM) para la detección de ECG. Sin embargo todos estos equipos están dedicados a la detección y tratamiento de unas u otras señales vitales y no engloban las señales arriba mencionadas, otro aspecto importante de ellos es que algunos requieren de una computadora personal (PC) para el despliegue y procesamiento de las señales y otros solamente presentan información numérica de la FC, lo cual los hace de bajo costo, pero de una no muy buena presentación para el personal médico.

El presente trabajo aunado a otros desarrollos previos representan una opción para solucionar algunos de los problemas de los equipos nacionales, como son el monitoreo y el despliegue de signos vitales en un solo equipo, incluyendo graficación de la señal de ECG, además de proponer un sistema que puede ser utilizado en red. Se presenta el diseño de un equipo electrónico digital, modular y de bajo costo para el monitoreo y despliegue de signos vitales, englobando ECG, FC, FR, PS y T, incluyendo un sistema de alarmas visuales y auditivas en caso de que se presenten signos vitales anómalos en el paciente. El despliegue de signos vitales se realiza de manera global, es decir, conectando varios equipos a un puesto central de enfermeras (PCE) constituido por una PC, formando así una red, en la cual se pueden monitorear uno o varios pacientes a la vez, ver figura 1.1. Por sus características de modularidad y versatilidad de operación el equipo podrá ser usado de manera individual en pequeños consultorios durante auscultaciones o bien de manera global en hospitales para el monitoreo de pacientes, en salas de cuidados intensivos, salas de recuperación, pruebas de esfuerzo, etcétera.

En los siguientes párrafos se describe de manera general la estructura y funcionamiento del equipo. Es importante mencionar que las señales vitales son detectadas, amplificadas y filtradas por un módulo analógico, el cual no forma parte de la presente tesis, pero que, por la participación en su diseño y construcción se menciona para tener una visión global del proyecto, dicho módulo fue diseñado en una

tesis adicional de licenciatura y cumple con las normas de protección y aislamiento tanto para el paciente como para el equipo, además de otras que se mencionarán posteriormente. Así mismo el módulo FSK representado en al figura 1.1 constituye un trabajo complementario para la presente tesis.

El equipo, de manera general, fue diseñado para monitorear las señales vitales antes mencionadas, previamente amplificadas y filtradas por el módulo analógico, dichas señales son muestreadas, procesadas y almacenadas temporalmente en RAM, para ser enviadas posteriormente al PCE para su despliegue. El equipo está formado básicamente por cuatro módulos o etapas, las cuales se describen a continuación.

1.2.- Módulo de amplificación y filtrado

Este modulo analógico está compuesto principalmente por transductores, filtros y amplificadores, y es el encargado de realizar la detección amplificación y filtrado de las señales vitales del paciente. Este módulo representa una parte fundamental en la detección de signos vitales, por lo que su diseño estuvo asesorado por personal especializado en el ramo de la Ingeniería Biomédica, básicamente cuenta con etapas de: selección de derivación[2],[3], preamplificación, aislamiento, amplificación y filtrado; fue diseñado para cumplir con las normas de construcción de equipo para monitoreo cardiaco AAMI (Association for the Advancement of Medical Instrumentation), en el siguiente capítulo se describe de manera general su funcionamiento.

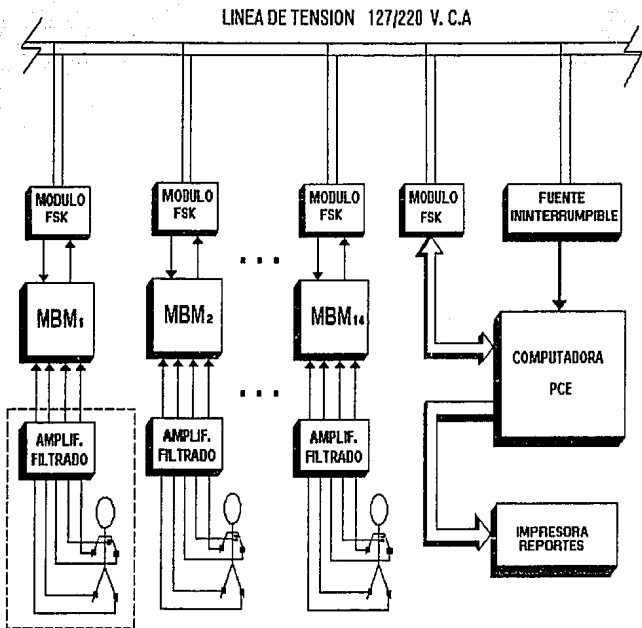


Figura 1.1 Módulos monitores en red.

1.3.- Módulo básico de monitoreo

El módulo básico de monitoreo (MBM), esta constituido principalmente por el microcontrolador MC68HC11E9, del cual se hace uso extensivo de sus periféricos internos para reducir el número de componentes requeridos para el equipo. En este módulo se lleva acabo el control del sistema local, es decir, se controla el convertidor analógico-digital (CA/D) para muestrear los signos vitales; se direcciona memoria RAM para el almacenado temporal de los mismos, de tal forma que funcione como una memoria de video y se pueda integrar en el futuro un sistema de despliegue adecuado, como un monitor convencional de TV o un display de cristal liquido; se monitorean los puertos de entrada, para la detección de electrodos sueltos en el paciente; se controla el puerto serie para la recepción y transmisión de información entre el MBM y el PCE en caso de encontrarse conectados en red. Ademas se realiza el "procesamiento" de las señales, es decir, se realiza el cálculo de FR y FC de la señal ECG . En el capítulo 2 se presenta en detalle la arquitectura diseñada para el MBM, así como su funcionamiento, mientras que en el capítulo 4 se presentan los algoritmos de programación para el control e interacción del sistema con el PCE.

1.4.- Enlace de comunicaciones

Cuando el MBM se encuentra conectado en red es necesario tener un medio de comunicación con el PCE, y tomando en cuenta que éste no siempre se encuentra en el mismo piso o se encuentra alejado de los pacientes, existen diversos medios de comunicación para resolver el problema, por ejemplo un sistema de radio, línea telefónica, o bien, un cableado adicional para la conexión entre equipos; sin embargo uno de los objetivos de la tesis es el bajo costo y la modularidad del equipo, por lo que ninguna de las soluciones anteriores resuelve el problema, algunas por resultar demasiado costosas, otras por requerir permisos para la transmisión y otras hacen al sistema poco transportable. Debido a estos problemas se optó por realizar un enlace de comunicaciones vía red eléctrica de baja tensión, ya que ésta se encuentra instalada por todo el inmueble y sólo requiere de un modem especial de bajo costo y diseño versátil para la transmisión serial de datos al PCE. Para el diseño de este

modem se utilizó la técnica de modulación digital de onda continua FSK (frequency shift keying), así como un sistema de aislamiento de la línea; en el capítulo 3 se presenta el funcionamiento básico del modem, así como sus características principales.

1.5 .- Puesto central de enfermeras

Para el monitoreo global (varios MBM) o individual de pacientes conectados a la red se requiere de una computadora central ubicada en el PCE, la cual desplegará los signos vitales de hasta 14 MBM's, para esta cantidad de equipos podremos graficar solamente 150 muestras de ECG para cada uno, el número de muestras solamente está determinado por la resolución del monitor (VGA) de la computadora central. El número de muestras graficadas es de resolución baja, sin embargo, el objetivo del monitoreo global es la detección de ausencia de ECG y alarmas sobre signos vitales anómalos en el paciente, los cuales en caso de presentarse se podrán monitorear de manera individual cada conectado a la red MBM, es decir se podrá desplegar el equivalente de 250 muestras por segundo. Además de los programas para manejar las gráficas descritas anteriormente, el PCE cuenta con programas de interacción con el personal médico, los cuales le proporcionarán información de manera amigable y de fácil acceso, dichos programas a base de menús, permiten introducir datos de nuevos pacientes para su registro, fijar condiciones de alarma para todas las variables, monitorear pacientes de manera global (para detección de alarmas principalmente) o de manera individual (graficación de signos vitales), permite también la graficación en papel de los signos vitales. En el capítulo 5 se presentan en detalle los algoritmos para la programación del PCE.

DISEÑO Y CONSTRUCCIÓN DE UN MÓDULO BÁSICO PARA ADQUISICIÓN LOCAL DE SIGNOS VITALES

2.1 .- Introducción

Como se ha mencionado, una de las características fundamentales del sistema diseñado es la modularidad, es decir el equipo se compone de varios módulos, los cuales pueden ser utilizados de manera individual para formar parte de otros sistemas. El diseño del MBM debe ser lo más compacto posible, pero debe ser capaz de realizar el procesamiento necesario para funcionar de manera individual y conectado en red, en caso de ser necesario. Debido a estas características de funcionamiento es necesaria la utilización de un microcontrolador, con un diseño compacto y funcional.

En el presente capítulo se describe detalladamente el diseño elaborado para el MBM, incluyendo también una breve descripción del módulo de detección amplificación y filtrado, el cual como ya se ha mencionado no forma parte de la presente tesis, pero se incluye para visualizar la modularidad del sistema (ver figura 1.1).

2.2.- Módulo de amplificación y filtrado

Este módulo constituye un prototipo que permite la detección de signos vitales por medio de sensores o electrodos conectados directamente al cuerpo. En la figura 2.1 se muestra el diagrama de bloques del módulo de amplificación y filtrado, este módulo está diseñado para obtener el registro de 12 señales o derivaciones de ECG: 3 derivaciones clásicas o de Einthoven, 3 unipolares o aumentadas y 6 precordiales [2],[3], las cuales se obtienen al colocar tres electrodos en las extremidades para las derivaciones clásicas (brazo derecho o RA, brazo izquierdo o LA, pie izquierdo o LF), uno más en la pierna derecha como medio para minimizar ruido e interferencias en las derivaciones unipolares (pie derecho o RF) y el último es un electrodo explorador colocado en 6 diferentes puntos alrededor del corazón para obtener las derivaciones precordiales (torax o C).

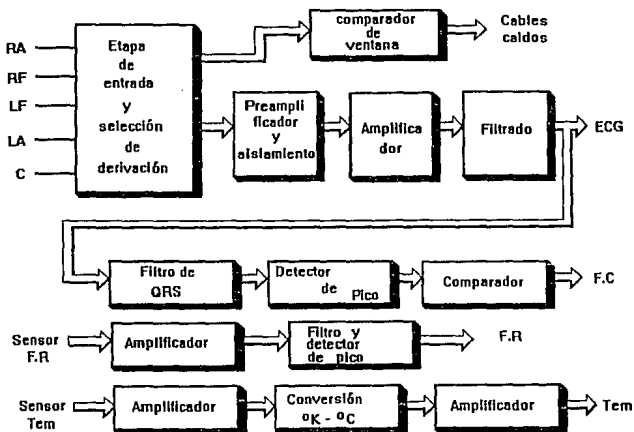


Figura 2.1.- Diagrama de bloques del módulo de amplificación y filtrado

Como se observa en la figura este módulo se subdivide en varios circuitos para detección de ECG, frecuencia cardiaca, temperatura y frecuencia respiratoria, los cuales se describen de manera general a continuación.

Detección de ECG

Esta etapa es fundamental en el diseño del módulo, ya que se encuentra conectada directamente al cuerpo mediante electrodos permitiendo la detección de ECG, por lo que su diseño se sujetó a las normas establecidas por la AAMI para el diseño de monitores de ECG, consta de las siguientes secciones, como se observa en la figura 2.1.

- **Circuito de entrada y selección de derivación.**- realiza la protección contra descargas provenientes de desfibrilador proporcionando protección de hasta 5000V en 5 milisegundos. Se realiza también la selección de la derivación que se desea monitorear.
- **Circuito preamplificador y de aislamiento.**- en este punto se realiza la preamplificación de la señal detectada, así como el aislamiento del equipo hacia el paciente, siendo éste uno de los circuitos de protección más importantes.
- **Circuito amplificador.**- encargado de realizar la amplificación de la señal de ECG, proporcionándole una ganancia fija con la que se obtiene un nivel de señal adecuado para el muestreo y despliegue.
- **Filtrado.**- en este punto se realiza el filtrado final para eliminar el ruido que pudiera tener la señal, es importante mencionar que en las etapas anteriores se tienen diferentes filtros para eliminar las interferencias existentes (ruido producto del medio ambiente, línea eléctrica y provocado por el paciente).

Algunas características de esta etapa son:

Ganancia

Preamplificador	21
Amplificador	68
Total	1428

Ancho de banda 0.5 a 35 Hz

Impedancia de entrada

Modo común	mayor a $5 \times 10^{10} \Omega$
Modo diferencial	mayor a $10^8 \Omega$

Detección de frecuencia cardiaca

Para su detección se emplea la señal de ECG obtenida en la etapa anterior, siendo ésta filtrada para detectar solamente el complejo QRS [2],[3], utilizando un filtro pasa bajas con frecuencia central en 17 Hz y ancho de banda de 4 Hz. La señal obtenida pasa a un detector de pico y un comparador, teniendo a la salida un pulso cuadrado de 25ms de duración, en cada latido del corazón.

Detección de temperatura

Esta se basa en el empleo de un circuito integrado como sensor que aunado a un circuito amplificador de instrumentación permite obtener la temperatura del cuerpo, el sensor es colocado en un determinado lugar del cuerpo (voca ,recto o axila) para tener una lectura más exacta, el circuito es de fácil calibración, tiene una salida lineal de 10 mV / °C, proporciona compensación interna de frecuencia, tiene un error de 0.1°C y a su salida se obtiene un voltaje proporcional a la temperatura en °C.

Detección de frecuencia respiratoria

Para su detección se aprovecha el cambio de temperatura producto del flujo de aire presente en las fosas nasales. Para detectar este flujo se emplea un elemento sensor, el cual opera como un diodo zener con un voltaje de rompimiento directamente proporcional a la temperatura. Esta etapa consta de detección, amplificación, filtrado y obtención del pulso que caracteriza cada ciclo respiratorio (inhalación y exhalación).

En general el módulo de amplificación y filtrado proporciona las siguientes señales para ser procesadas por el MBM:

- Señal del corazón (ECG) centrada en 2.5 V con amplitud dentro del rango de 0-5 V.
- Señal de temperatura, conste de un voltaje proporcional a ésta en el rango de 0 a 4.5 V.
- Señal de frecuencia cardiaca, proporciona pulsos cuadrados de 25 mseg. de duración y frecuencia correspondiente a la señal de ECG, su amplitud es compatible con los niveles TTL.

- Señal de frecuencia respiratoria, proporciona pulsos cuadrados de 25 mseg. de duración con frecuencia correspondiente a la inhalación y exhalación del paciente, su salida es compatible con TTL.
- Señal de cable caído, proporciona un nivel lógico "1" en caso de detectar un electrodo suelto.
- Señal de tierra, proporciona la referencia de las señales anteriores.

2.3 .- Descripción del microcontrolador MC68HC11

Para la elaboración de la arquitectura del MBM en forma compacta se optó por la utilización de un microcontrolador de la familia de motorola, del cual se hace uso exhaustivo de sus periféricos internos, para realizar las funciones de control del sistema y las tareas de muestreo, almacenamiento y transmisión de datos por puerto serie. A continuación se presenta una descripción general de este microcontrolador.

La unidad microcontroladora MCU (microcontroller unit) MC68HC11E9, es un sistema de alta integración y sofisticados periféricos internos, de alta velocidad de procesamiento y bajo consumo de energía. Sus características internas lo hacen ideal para el proyecto, como se puede observar en el diagrama de bloques de la figura 2.2; cuenta además con las siguientes características:

- Sistema de contador libre de 16 bits con 4 niveles de preescalamiento.
- Modos de espera para el ahorro de energía.
- Interface de comunicación serie.
- 5 puertos de 8 bits.
- 2-registros acumuladores de 8 bits y uno doble de 16 bits.
- 2 registros indexados de 16 bits.
- 8 kbytes de memoria ROM.
- 512 bytes de memoria RAM.
- 512 bytes de memoria EEPROM.
- Convertidor analógico-digital de 8 canales de 8 bits.
- 18 fuentes de interrupción

Modos de operación

El MCU utiliza dos pines (MOD A y MOD B) [4], para seleccionar uno de cuatro modos de operación, dos de ellos llamados básicos (*simple chip* y *expandido*) y dos especiales (*bootstrap* y *prueba*).

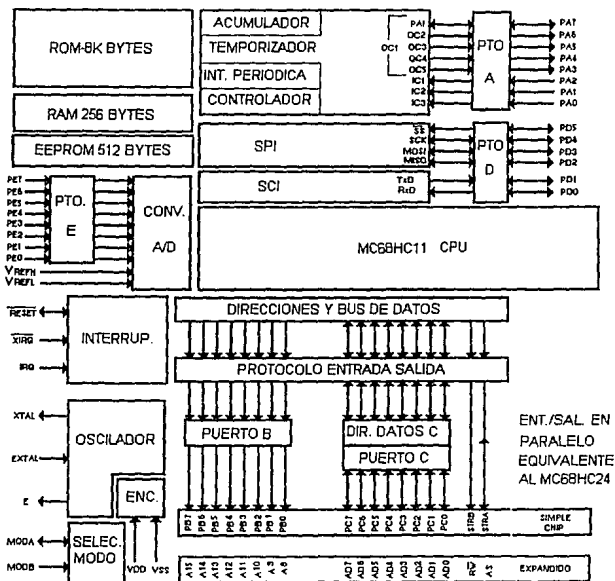


Figura 2.2 Estructura interna del MCU 68HC11.

Simple chip.- en este modo de operación, el MCU hace uso de sus recursos internos y no tiene buses externos, por lo que se aprovechan al máximo sus puertos de entrada-salida, pero se tiene la restricción de la memoria interna (512 bytes).

Multiplexado-expandido.- en este modo el MCU puede direccionar hasta 64 Kbytes para memoria externa o puertos adicionales. La parte alta del bus de direcciones son las salidas del puerto B, la parte baja del bus se encuentra multiplexada con el bus de datos y son tomadas del puerto C, la línea "AS", se utiliza como línea de control para el demultiplexaje del bus de datos y las direcciones; en este modo se reduce el número de puertos de entrada-salida, se cuenta además con líneas de control para el acceso a memoria o periféricos externos (AS,R/W,E).

Modo bootstrap.- este es un modo de operación muy versátil, ya que combina los modos anteriores, sólo que cambia la posición de los vectores de interrupción; puede ser usado para programar la EEPROM interna, para probar el programa residente en ROM y puede ser cambiado a otros modos bajo el control del programa.

Modo prueba.- éste solo se utiliza para calibrar los sistemas que componen al MCU y solamente es usado por el fabricante.

Puertos de entrada - salida

Puerto A .- está relacionado con el temporizador, puede ser configurado en todos los modos de operación con tres entradas para captura de datos, cuatro salidas para funciones de comparación y una entrada (PA1) para el acumulador de pulsos.

Puerto B .- en modo *simple chip*, todas las terminales son usados como salidas de propósito general, en modo multiplexado expandido se utiliza para el direccionamiento externo.

Puerto C .- en modo *simple chip* se utiliza como un puerto de propósito general de entrada - salida, en modo expandido está multiplexado con el bus de datos y la parte baja de las direcciones, sus entradas pueden tener un registro *latch* controlado por la línea de control "STRA".

Puerto D .- es un puerto bidireccional de propósito general y puede ser configurado como dos subsistemas de comunicación serie, sincrónico (PD2 - PD5) y asíncrono (PD0 - PD1); pueden seleccionarse diferentes baudajes y sus salidas son TTL.

Puerto E .- puede ser usado como puerto de entrada de propósito general o como entradas para el convertidor analógico - digital, hasta 8 canales en los modelos PLCC (Plastic Leades Chip Carrier).

A lo largo del escrito se describirán con más detalle algunos de los periféricos empleados de este MCU.

2.4 .- Arquitectura diseñada

Una de las tareas del equipo es el almacenamiento de muestras de la señal de ECG , para su posterior reconstrucción, por tal motivo se requiere del uso de una memoria RAM externa, ya que la RAM interna del MCU no es lo suficientemente grande para almacenar las muestras. Para el uso de memoria externa es necesario utilizar al MCU en modo *multiplexado expandido*, con el cual se tiene la posibilidad de direccionar mas memoria o puertos de entrada/salida.

Como podemos observar en el diagrama de bloques de la figura 2.3, el sistema cuenta con memoria RAM , EPROM (para el almacenamiento del programa de aplicación), un decodificador, un *latch*, el modem FSK y el MCU MC68HC11E9, por lo que tenemos un sistema digital compacto, a excepción del modem FSK, pero éste se puede manejar como un bloque independiente, ya que solamente se utilizará para la transmisión serial a través de la red eléctrica hacia el PCE.

En modo *multiplexado expandido* como ya se ha mencionado el *bus* de datos se encuentra multiplexado con la parte baja de las direcciones, para realizar el demultiplexaje se utiliza un circuito tipo *latch* cuya habilitación proviene de la línea de control del MCU "AS" [4], como se observa en la figura 2.3. La decodificación utiliza medio ciclo de la señal de reloj "E" para el *bus* de datos y el otro medio ciclo junto con la señal de "AS" para el *bus* de direcciones. Teniendo demultiplexados ambos *buses* podemos plantear el mapa de memoria para la arquitectura. El mapeo de memoria se

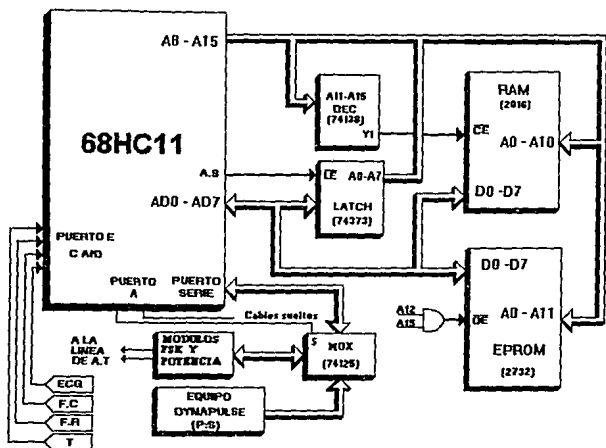


Figura 2.3 Diagrama de bloques de la arquitectura diseñada.

realizó dividiendo el espacio en bloques de 4 Kbytes. En la figura 2.4 se presenta este mapa, la parte sombreada corresponde a las localidades ocupadas por la memoria, registros internos y vectores de interrupción, el resto del espacio puede ser utilizado para direccionar más memoria o puertos de entrada - salida. En la parte alta se encuentran direccionados los vectores de interrupción, el vector de reset, que es el que nos interesa para inicializar el sistema, se encuentra en la dirección \$FFFE, y es en esta localidad donde se debe guardar la dirección de inicio del programa de aplicación; este vector de interrupción, al igual que el programa de aplicación serán grabados en una EPROM externa de 4 Kbytes, esta memoria debe ser direccionada en la parte alta del mapa de memoria, es decir debe de estar a partir de la dirección \$F000 a la \$FFFF; para su direccionamiento utilizamos la parte alta de las direcciones, con las cuales habilitaremos la memoria, es decir las líneas de dirección A₁₂ - A₁₅ se conectan a una compuerta NAND, cuya salida se conecta al "OE" de la EPROM; con este arreglo nos

aseguramos de que la memoria sólo se activará cuando se tenga una dirección comprendida entre \$F000 y \$FFFF. La RAM se localiza en el primer bloque de memoria, para su direccionamiento se utiliza un circuito decodificador (74HC138), con el fin de poder direccionar más memoria en caso de ser necesario, para ello utilizamos las líneas de dirección A₁₁ - A₁₅ y la señal de control "E", con ello direccionamos la RAM a partir de la dirección \$0800 a la \$0FFF (2 Kbytes); como se observa en la figura 2.4.

En el diagrama de la figura 2.5 se muestran los siguientes aspectos: la circuitería necesaria para el funcionamiento del MCU en modo *expandido*; el circuito de reset, que pone un nivel bajo en el pin de "RESET" para inicializar al MCU, eliminando los rebotes; el circuito del cristal de 8 Mhz para proporcionarle al MCU el reloj, y que a su vez éste genere la señal de reloj "E" de 2 Mhz; el circuito de decodificación de memorias, descrito anteriormente; el circuito de acondicionamiento entre los niveles TTL del MCU y los niveles RS232 de la computadora, formado por el circuito MAX232, con el que se realiza la comunicación serial entre el MBM y el PCE; también se muestran los niveles de referencia para el convertidor A/D (VRH y VRL), los cuales fueron fijados para tener una ventana de conversión de 0 a 5 Volts, que es el rango de variación de las señales vitales proporcionadas por el módulo analógico descrito anteriormente. Las señales previamente amplificadas y filtradas de ECG, FC, FR y T se conectan a los primeros cuatro canales del convertidor A/D del puerto E; por el puerto A se introduce la señal de alarma de cables caídos en el paciente; el puerto serie del MCU (PD0, PD1) se utiliza para la comunicación con el PCE y al mismo tiempo para recibir la señal de PS proveniente de un equipo comercial DYNAPULSE (del cual se darán posteriormente sus características), por ello es necesario multiplexarlo por medio del circuito 74HC125, para el cual la señal de control de tercer estado es provista por el puerto A.

Con este diseño se logra que el MBM sea muy compacto y funcional, siendo una parte muy importante para su funcionamiento la correcta programación del MCU, ya que él será el encargado de realizar el control y procesamiento de las señales. En los siguientes capítulos se detallarán los programas elaborados para el MBM.

En la siguiente lista se enumeran algunas características del MBM.

- 1.- Rango de conversión de señales de 0 a 5 V.
- 2.- Tiempo de conversión 16 microsegundos.
- 3.- Memoria RAM de 2 Kbytes.
- 4.- Memoria EPROM de 4 Kbytes.
- 5.- Velocidad de transmisión de 9600 bauds.

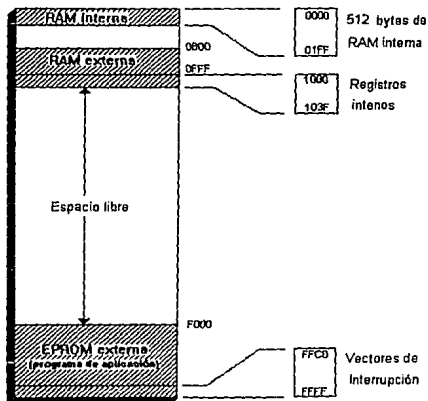


Figura 2.4 Mapa de memoria del MBM.

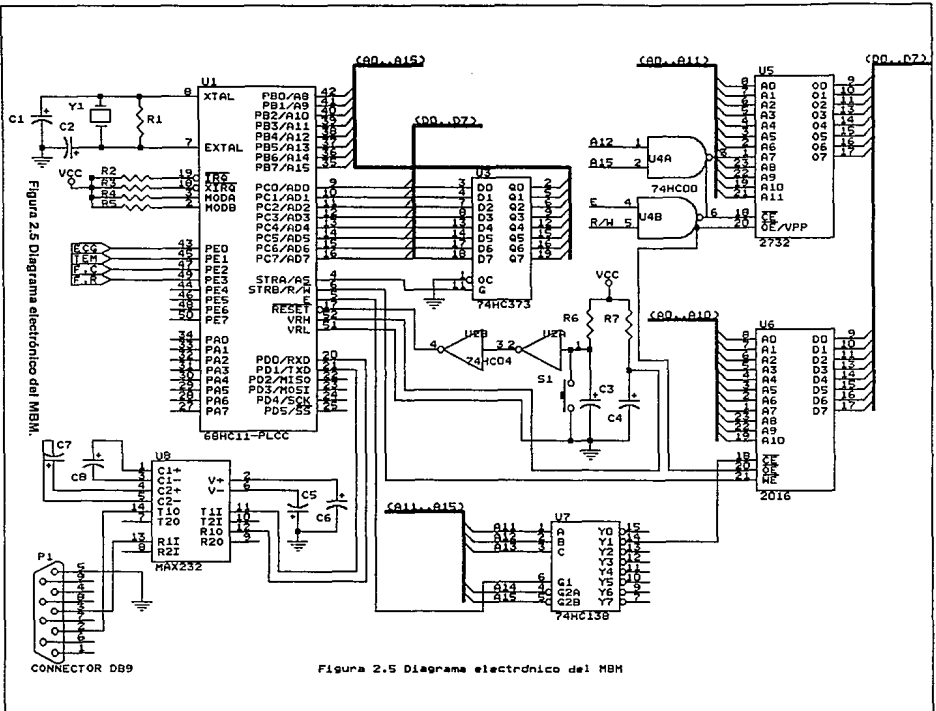


Figura 2.5 Diagrama electrónico del MBM.

Figura 2.5 Diagrama electrónico del MBM

MUESTREO DESPLIEGUE Y TRANSMISION DE DATOS

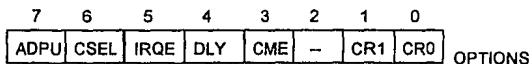
3.1 .- Introducción

La función primordial del MBM es el muestreo y el tratamiento de los datos de la señal de ECG y signos vitales, el muestreo debe ser seleccionado de tal manera que podamos reconstruir la señal de ECG lo más exacto posible a la señal original, para ello, una de las herramientas de apoyo para la selección de la frecuencia de adquisición lo constituye el teorema de muestreo [5],[6], con el cual podemos calcular la frecuencia mínima para reconstruir la señal, sin embargo, el periodo de muestreo para una señal de ECG se encuentra plenamente definido en la bibliografía[3],[6], es decir un periodo de muestreo de 256 Hz es suficiente para la reconstrucción de la señal con un error relativo de 1.6% a una frecuencia máxima de 250 pulsos por minuto, como se verá en el presente capítulo.

En este capítulo también se describen algunos análisis realizados para el despliegue local, utilizando un monitor convencional de TV, así como la posible utilización de un display de cristal líquido; por el momento el despliegue se realiza en una computadora central. Se describe también el diseño preliminar de un sistema de transmisión de datos a través de la red eléctrica de baja tensión, el cual no forma parte de la presente tesis, sin embargo debido a la participación en su diseño se incluye una breve descripción.

3.2.- Muestreo de signos vitales

Como se mencionó en el apartado anterior, a través del convertidor A/D integrado al MCU se muestrean 4 canales para adquirir muestras de ECG, FC, FR y T. Este convertidor de 8 canales de 8 bits y retención de muestra, utiliza la técnica de conversión de aproximaciones sucesivas con redistribución de cargas [4], este tipo de convertidor es el más popular en aplicaciones biomédicas ya que combina velocidad y simplicidad de conversión [6], tiene un error de cuantización de $\pm 1/2$ LSB, con una velocidad de conversión de 16 microseg. Para su utilización es necesario configurar los siguientes registros: OPTIONS Y ADCTL (registro de control del convertidor A/D).



ADPU .- A/D powerup, proporciona la energía necesaria para activar el convertidor.

0 = desactivado

1 = activado

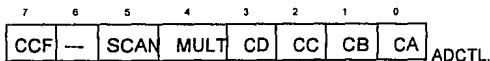
CSEL .- clockselect, selecciona el oscilador de referencia para la conversión.

0 = 2 MHz

1 = 750 kHz

Los bits restantes no son usados en el control del convertidor A/D.

Como queremos trabajar a su máxima capacidad seleccionamos el oscilador de 2 MHz y activamos la energía para su funcionamiento, por lo que debemos configurar este registro con un \$80.



CCF.- bandera de conversión completa, indica la terminación de una conversión.

0= realizando conversión.

1 = conversión completa.

SCAN.- control de conversión continua, selecciona el tipo de conversión a realizar.

0 = conversión continua.

1 = una sola conversión.

MULT.- control de canal múltiple, selecciona la conversión de uno o cuatro canales.

0 = 1 canal.

1 = 4 canales.

CD, CC, CB, CA.- seleccionan el canal a convertir.

Cada vez que necesitemos los datos de una conversión se debe escribir este registro, después de 16 microsegundos los resultados de la conversión de los cuatro canales se tendrán disponibles en los registros ADR1-ADR4 respectivamente, debemos realizar una conversión de 4 canales a la vez cada 3 milisegundos, seleccionando los primeros cuatro canales, por lo que debemos configurar este registro con un \$10.

En la figura 3.1 se muestra un periodo típico de una señal de ECG, la cual puede variar dependiendo de las características de salud y edad de la persona, pero que normalmente presenta las características mostradas. De esta señal se pretenden visualizar 4 periodos a la vez; si tomamos una muestra cada 2.4 milisegundos (256 muestras/periodo) tendremos un periodo de muestreo de 427 Hz valor que se encuentra por encima de la frecuencia de muestreo utilizada entre otros por L. Edenbrandt et al. [7] y Wendel C. Ocasio et al. [8] (256 Hz) y que además cumple con las normas AAMI (Association for the Advancement of Medical Instrumentation) para monitoreo cardíaco [9]. La frecuencia de muestreo usada se puede variar para tener diferentes resoluciones, generalmente se usa una frecuencia de 256 Hz con la que se tiene un error teórico de 1.6 %, como muestra la ecuación 3.1; esta frecuencia es un valor adecuado para un sistema digital, ya que generalmente la señal se despliega a 256 Hz, sin embargo, para facilitar el procesamiento de las señales se utilizó una frecuencia de 333 Hz, es decir, se toma una muestra cada 3 milisegundos, a esta frecuencia se adquieren las señales vitales del paciente.

$$\text{error} = \frac{\text{Frec.max}}{\text{Frec.muestreo}} \times 100 = \frac{250\text{ppm}}{256\text{m / seg}} = 1.6\% \quad (3.1)$$

Para la señal ECG se toma una muestra cada 3 milisegundos y se almacena en RAM hasta alcanzar un total de 1024 muestras (el equivalente a 3 segundos aproximadamente de la señal), de donde serán leídos los datos por el sistema de despliegue para su posterior reconstrucción, en nuestro caso la muestra será enviada al PCE para su graficación si éste así lo requiere. En el caso de la temperatura el valor obtenido con el convertidor A/D se multiplica por un factor, para transformar los datos a grados centígrados y su valor se almacena en RAM para ser enviado al PCE cuando éste lo solicite. El factor de conversión está determinado por la ventana de conversión y la resolución del convertidor (8 bits), por lo que tendremos 256 posibles valores provenientes del convertidor y cada valor corresponderá a un voltaje de $5\text{ V}/256 = 0.0195312\text{ V}$, siendo éste el factor de conversión para la temperatura.

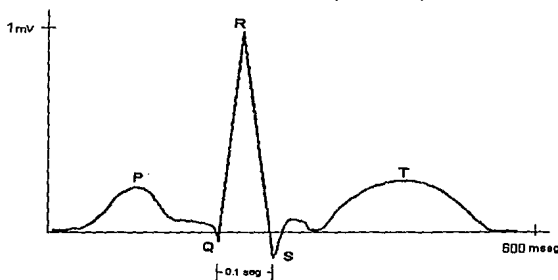


Figura 3.1 Señal típica de ECG

Las señales de FC y FR, están formadas por pulsos a los cuales se les tiene que calcular la frecuencia en pulsos por minuto, para calcularla se necesita conocer la duración de la parte baja del pulso, ya que la parte alta es de duración constante, bajo estas condiciones el MCU calcula la frecuencia en pulsos por minuto de acuerdo al diagrama de flujo de la figura 3.2, utilizando la técnica de "beat a beat", es decir se calcula la frecuencia en cada periodo de la señal; posteriormente se incluirá la técnica

de promediación en la que se calcula la frecuencia tomando el promedio de varios periodos de la señal.

El MCU toma la muestra y evalúa si se trata de la parte alta o baja del pulso, mientras sea la parte baja incrementa un contador, si la muestra corresponde a la parte alta se realiza el cálculo de la frecuencia, multiplicando el valor del contador por el periodo de muestreo y se le suma el tiempo del pulso alto, teniendo así el periodo total de la señal, a este valor se le calcula la frecuencia en pulsos por minuto, y su valor es almacenado en RAM. En las siguientes muestras de la parte alta se inicializa el contador para calcular la frecuencia del siguiente pulso. De acuerdo a los estándares de las normas AAMI, todo equipo para monitoreo cardiaco debe ser capaz de detectar frecuencias comprendidas de 20 a 250 pulsos por minuto para la frecuencia cardiaca y de 8 a 150 pulsos por minuto para frecuencia respiratoria, ambas con un error máximo de ± 5 pulsos por minuto. En nuestro caso el cálculo de las frecuencias se realiza dividiendo una constante por el numero del contador, como se observa en la ecuación 3.2. Realizar esta división de 16 bits en el MCU involucra un error inherente en el cálculo de las frecuencias de ± 3 pulsos por minuto, error que es aceptable de acuerdo a las normas AAMI.

$$FC = \frac{60}{\# \text{ contador} * 3 \text{ mseg}} = \frac{20000}{\# \text{ contador}} \quad (3.2)$$

El valor de las frecuencias utilizando una frecuencia de muestreo de 256 Hz, tiene un error de 1.6 % cuando se detecta una frecuencia de 250 ppm como se explicó anteriormente, lo que corresponde a un error de ± 4 ppm, error que es aceptable de acuerdo a normas AAMI, sin embargo, como estamos utilizando una frecuencia de muestreo de 333Hz este error se reduce a ± 3 ppm en la detección de frecuencias de 250ppm, reduciéndose el error en la detección de frecuencias más bajas, llegando a ser de ± 0.25 ppm en frecuencias de 20ppm.

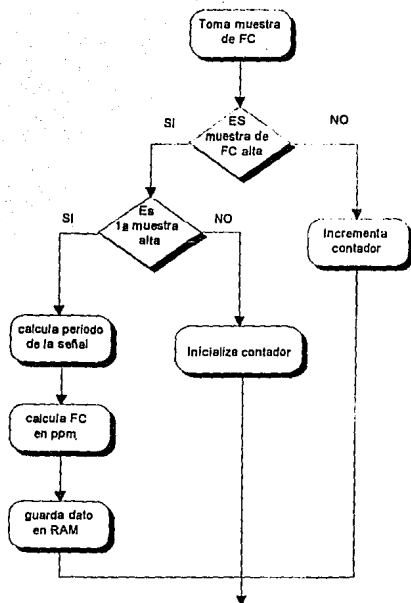


FIGURA 3.2 Diagrama de flujo para el cálculo de frecuencia cardiaca y respiratoria.

Para medir la presión sanguínea se utilizará un módulo comercial "DYNAPULSE" [10], de tipo no invasivo, el cual no requiere calibración desde el punto de vista del usuario. Este módulo utiliza el método oscilométrico para medir la presión sanguínea y entrega los datos através del puerto serie. Por el momento la compra de este equipo se encuentra en proceso, por lo que no se realiza adquisición de presión sanguínea.

Para que el sistema funcione en tiempo real el MCU debe realizar las tareas de muestreo, procesamiento y transmisión serial, además de la detección de electrodos sueltos en el paciente (leyendo el estado del puerto A) en un periodo menor a 3 milisegundos, periodo que es suficiente si el MCU opera a 2 Mhz. Para lograr que el MCU realice las rutinas en un periodo de 3 milisegundos se tomaron en cuenta los ciclos de maquina de cada instrucción, de tal manera que a cada rutina se le añaden retardos para ajustar el tiempo de ejecución de la rutina a 3 milisegundos.

Debe subrayarse que tanto el MBM como el PCE son de tipo pasivo, por lo cual sólo monitorean y grafican los signos vitales, por lo que no se aplican algoritmos digitales para el análisis o reconocimiento de señales, eventualmente este tipo de registro dinámico [11] se podría integrar en el futuro.

3.3 .- Despliegue de signos vitales

El despliegado local de signos vitales podría realizarse mediante equipos especiales como osciloscopios con memoria o polígrafos, pero resultaría un equipo sumamente costoso; por esta razón presentamos el análisis de algunas opciones para el despliegado local, las cuales se encuentran en proceso de estudio para seleccionar la más adecuada, por el momento el despliegue se realiza mediante la computadora en el PCE.

Una de las opciones es la utilización de un monitor convencional de TV modificado [12], en donde podemos dibujar la señal de ECG en el tubo de rayos catódicos (TRC) controlando las placas deflectoras X-Y, en cuyo caso la señal de ECG sería la señal de contraste para el barrido vertical, para ello esta señal debe ser compatible con la norma NTSC (National Television System Comittes) [13], en la cual se tienen 15750 Hz de barrido horizontal y 60 Hz de barrido vertical. Para visualizar los 4 periodos de ECG se tendrían que agrupar $(4)(256 \text{ muestras/periodo}) = 1024$ muestras que deben ser procesadas en $1/60$ de segundo es decir 61440 muestras por segundo, frecuencia muy elevada en comparación con la frecuencia de muestreo del MCU, bajo estas circunstancias es necesario diseñar un autómatas de despliegue que lea los datos de la RAM a la frecuencia televisiva de 61440 muestras por segundo y

enviarlas a un convertidor digital - analógico para formar la señal de contraste. Para la visualización de los valores de frecuencias, temperatura, presión sanguínea y demás parámetros es necesaria la utilización de un generador de caracteres; con todas estas características el diseño del sistema se vuelve más robusto y más caro, sin embargo se estudia además la posibilidad de incorporar un display de cristal líquido controlado por puerto serie, esto haría al sistema muy compacto y ligero, pero el costo también es elevado, por ello se encuentra en estudio la opción para el despliegue local.

3.4 .- Transmisión de datos

Para la transmisión de los datos a través de la línea de voltaje, es necesario utilizar algún tipo de modulación, ya que los datos en formato RS-232 no pueden ser transmitidos directamente, debido a las bajas frecuencias que utiliza; es por esto que el diseño del módulo se basa en la técnica de modulación digital de onda continua denominada llaveo o manipulación por corrimiento de frecuencia FSK (frequency - shift - keying) [14]. En esta técnica la frecuencia de la señal moduladora o frecuencia de transmisión se desplaza entre dos frecuencias a medida que se transmite un "1" o un "0" lógicos.

En la figura 3.2 se muestra el diagrama de bloques para el módulo FSK el cual está formado por los siguientes bloques:

1.- El transmisor formado principalmente por un circuito integrado generador de ondas senoidales, del cual obtenemos las dos frecuencias moduladoras correspondientes a un "1" y "0" lógicos, dichas frecuencias se obtienen utilizando al generador como un modulador de FM, para ello se utiliza un circuito que acondiciona los voltajes RS-232 y los hace compatibles con el generador, teniendo un voltaje para el "1" lógico con su correspondiente frecuencia a la salida del generador y otro para un "0" lógico con su correspondiente frecuencia, ambas frecuencias moduladoras pasan a través de un amplificador de potencia para ser transmitidas por la línea de tensión.

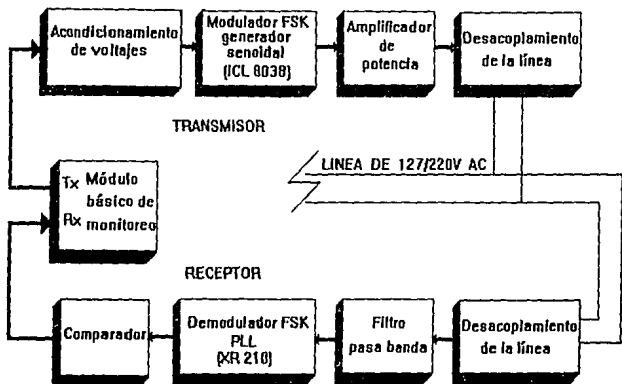


Figura 3.3 Diagrama de bloques del módulo FSK

2.- Etapa de acoplamiento con la línea, formada principalmente por capacitores. Para tener un acoplamiento con pérdidas mínimas los capacitores deben ser seleccionados de tal manera que presenten una alta impedancia a la energía de 60 Hz y un equivalente serie resistivo de bajo valor para el rango de frecuencias moduladoras utilizadas por el transmisor, las cuales deben estar dentro del ancho de banda de la línea de tensión (30 - 500 KHz) [15], además los capacitores deben soportar un voltaje mayor al voltaje pico a pico de operación de la línea. Para la selección de los capacitores se utiliza la ecuación que representa la impedancia de un capacitor, con la

cual lo seleccionamos de acuerdo a la frecuencia de operación del transmisor y a la impedancia de acoplamiento.

$$Z_c = \frac{1}{2\pi f c}$$

f = frecuencia de operación

c = capacitancia

Zc = impedancia del capacitor

3.- El receptor, formado principalmente por un filtro pasabanda, sintonizado a las frecuencias de operación del transmisor, con el cual se elimina una gran parte de las interferencias de baja frecuencia presentes en la línea; las señales filtradas pasan a un circuito demodulador de FM formado por un PLL (phase - locked loop), el cual opera con una excelente linealidad entre las frecuencias de entrada y el voltaje de salida, teniendo así dos niveles de voltaje correspondientes a las dos frecuencias de operación del transmisor, finalmente estos voltajes pasan a un comparador de voltaje para acondicionar la salida del PLL a un formato RS-232.

Por el momento el diseño de este módulo se encuentra en proceso de pruebas y validación.

INTERACCIÓN ENTRE EL MÓDULO BÁSICO DE MONITOREO Y EL PUESTO CENTRAL DE ENFERMERAS

4.1.- Introducción

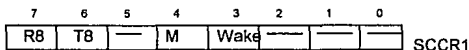
Una de las características funcionales del MBM es su posible uso en red, es decir monitorear de manera local y al mismo tiempo estar conectado a la computadora central del PCE, o como en nuestro caso, estar solamente conectado al PCE. Como éste puede monitorear hasta 14 MBM's es necesario utilizar algún identificador para cada uno, así como un protocolo para realizar la transferencia de datos. El identificador o clave de cada MBM se fija mediante *software*, de esta manera cuando se encuentren conectados más de un MBM al PCE y éste solicite datos de alguno de ellos todos los MBM conectados recibirán la clave pero solo responderá uno de ellos. En cuanto a la transmisión de información entre ambos módulos es necesario establecer un protocolo de comunicación para tener una sincronía entre ellos, por lo que es necesario elaborar algoritmos para ambos módulos y que trabajen en tiempo real, para ello se utilizó un sistema de comunicación serial eficiente como es el caso del SCI (serial communication interface) integrado en el MCU. El medio de comunicación entre ambos sistemas puede ser la conexión directa o enlazados mediante el módem FSK en caso de encontrarse a una distancia larga, en ambos casos realizando una comunicación half duplex. En el presente capítulo se describe el sistema de transmisión serial de datos del MBM hacia el PCE, así como el protocolo establecido para realizar el intercambio de información.

4.2.- Transmisión serial del MBM

La interacción entre el MBM y el PCE se realiza mediante la transmisión de datos a través de puerto serie, utilizando para ello el SCI integrado al MCU, este puerto serie es un sistema asíncrono full - duplex tipo UART (universal asynchronous receiver / transmitter) [16], el cual permite una excelente comunicación con dispositivos periféricos, en nuestro caso se realizó una comunicación tipo half-duplex con el PCE, debido a las características de la programación. El SCI puede utilizar una gran variedad de velocidades de transmisión, las cuales dependen del cristal utilizado en la arquitectura, para la transmisión utiliza el estandar NRZ (no retorno a cero) con formato de 1 bit de inicio, 8 o 9 bits de datos y 1 bit de paro.

Para la correcta utilización del SCI es necesario configurar 5 registros del MCU: SCCR1 (registro de control 1 del SCI), SCCR2 (registro de control 2 del SCI), BAUD (registro de control de baudaje), SCSR (registro de status del SCI) y SCDR (registro de datos del SCI); los tres primeros se utilizan para inicializar el puerto serie y los dos últimos para la transmisión y recepción.

En la parte de inicialización debemos fijar el formato de los datos a transmitir, con el fin de hacerlos compatibles con el formato que espera recibir la computadora del PCE, para ello utilizamos el registro SCCR1 en el cual se tienen los siguientes bits:



R8 - activa la recepción del bit 8 en caso de formato con 9 bits de datos

T8 - activa la transmisión del bit 8

M - selecciona el formato de los datos

0 = 1 bit de inicio, 8 bits de datos, 1 bit de paro

1 = 1 bit de inicio, 9 bits de datos, 1 bit de paro

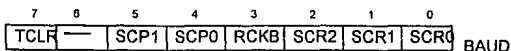
Wake - selecciona el método de activación de línea

0 = línea desocupada (idle line)

1 = marca de dirección (detecta el bit 8 o 9 para activar la línea)

Para el presente trabajo se seleccionó el formato de 8 bits de datos y el método de línea desocupada, es decir la línea permanecerá en estado alto mientras no haya datos a transmitir, por lo que debemos configurar a este registro con un \$00.

Para fijar el baudaje al cual se transmitirá, se debe configurar el registro BAUD, en el cual se tienen los siguientes bits:

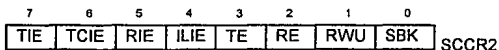


SCP0 - SCP1 - seleccionan el factor para preescalar la frecuencia del cristal

SCR0 - SCR2 - seleccionan el baudaje deseado

Los bits restantes sólo son usados para modo *prueba*. Utilizando un baudaje de 9600 bauds este registro se debe configurar con un \$30. Para utilizar baudajes diferentes sólo hay que cambiar la configuración de este registro, teniendo en cuenta que para transmisiones en tiempo real se requiere de una velocidad de transmisión de 7500 bauds (250 muestras / seg / canal , enviando 10 bits / muestra) [6].

Para que el SCI funcione como un sistema full-duplex se utiliza el registro SCCR2 en el cual se tienen los siguientes bits:



TE - habilita transmisión

0 = deshabilitada

1 = habilitada

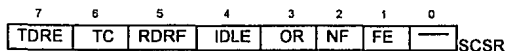
RE - habilita recepción

0 = deshabilitada

1 = habilitada

En este registro únicamente se habilitan los bits de transmisión y recepción escribiendo un \$0C, los bits restantes se utilizan para interrupciones en transmisión y recepción.

En la transmisión de datos se usan dos registros, el SCDR para escribir el dato a transmitir y el SCSR, en el que se leerá el estado del puerto, en este último registro se tienen los siguientes bits:



TDRE - registro de transmisión de datos lleno

0 = no lleno

1 = lleno

TC - transmisión completa

1 = indica que ha terminado la transmisión

RDRF - registro de recepción de datos lleno

0 = no lleno

1 = lleno

En la recepción primero se lee el registro SCSR para averiguar si el bit 5 se encuentra activado, lo que nos indica que llegó un dato, posteriormente se lee el dato del registro SCDR. El resto de los bits se utilizan para saber si ocurrió alguna sobreescritura o algún problema con los datos.

En el apéndice A se muestra el listado en ensamblador de la programación realizada.

4.3 .- Protocolos de comunicación y programación para la interacción entre MBM y PCE

Dado que el sistema de comunicación serie es asíncrono y el proyecto requiere de una cierta sincronía para establecer la comunicación duplex entre el MBM y el PCE, fue necesario programar ambos sistemas con un protocolo determinado para realizar el intercambio de información en tiempo real. Este protocolo se diseñó con una topología especial para el proyecto, sin embargo la modularidad del programa permite modificarlo para adecuarlo a otras necesidades.

El MBM realiza las tareas de conversión, procesamiento y despliegue local, y al mismo tiempo está pendiente de la comunicación con el PCE, la comunicación para

transferencia de datos empieza con el protocolo. En la figura 4.1 se muestra el diagrama de flujo de la programación del MBM, en el cual se incluye el protocolo.

El protocolo se inicia cuando el PCE envía, vía puerto serie, la clave del o de los MBM's que desea supervisar. El programa del MBM detecta la clave que le llega y la compara con la clave que tiene asignada, si no son iguales continúa con el monitoreo y procesamiento de una muestra de signos vitales, generando un retardo 1 para esperar a que pasen 3 milisegundos, pero si corresponde a su clave, envía una contraseña (ACK), la cual le indica al PCE que éste MBM se encuentra activo, posteriormente el PCE le envía el identificador para inicio de transmisión y el MBM envía la contraseña de dato recibido, en caso de que el MBM reciba un dato que no es inicio de transmisión, éste continúa con el procesamiento de otra muestra y genera un retardo 2 para ajustar esta rutina a 3 milisegundos; al recibir el inicio de transmisión el MBM se encuentra listo para enviar datos al PCE, como éste tiene que atender a todos los MBM conectados a la red, el tiempo transcurrido entre el envío de cada petición de dato, puede ser mayor a 3 milisegundos, por lo que el programa del MBM tiene que continuar con su labor de muestreo y procesamiento, como se muestra en el diagrama de flujo de la figura 4.1, en donde cada rutina tiene que ajustarse a una duración de 3 milisegundos. En la misma figura se observa que para la transmisión de datos el PCE envía un "CHK" y el MBM un dato de ECG, continuando con este proceso hasta completar una pantalla, es decir la visualización de 4 periodos de ECG en un monitor VGA, lo que corresponde a enviar un dato cada 4 milisegundos (el equivalente a 256 muestras por segundo) por lo que el MBM envía una muestra al PCE por cada 2 muestras de ECG que procesa. Una vez concluido el envío de datos de ECG, el PCE envía un identificador (PARAM) para que le sean enviados los datos de las otras variables, al recibir este identificador el MBM lee de la RAM el dato de cada variable, enviándolo al PCE, continuando con este proceso mientras dure el monitoreo. Cuando termina se envía el identificador de fin de transmisión; al recibirlo el MBM, éste continúa monitoreando y procesando los signos vitales, pero se encuentra en espera del protocolo para nuevamente interactuar con el PCE.

La programación del MBM se realizó en lenguaje ensamblador, su diseño es modular para permitir la inserción de nuevas rutinas que permitan realizar el despliegue local, así como la atención al módulo de presión sanguínea. En el apéndice A se incluye un listado completo del programa utilizado para el MBM, el cual se realizó siguiendo el diagrama de flujo de la figura 4.1.

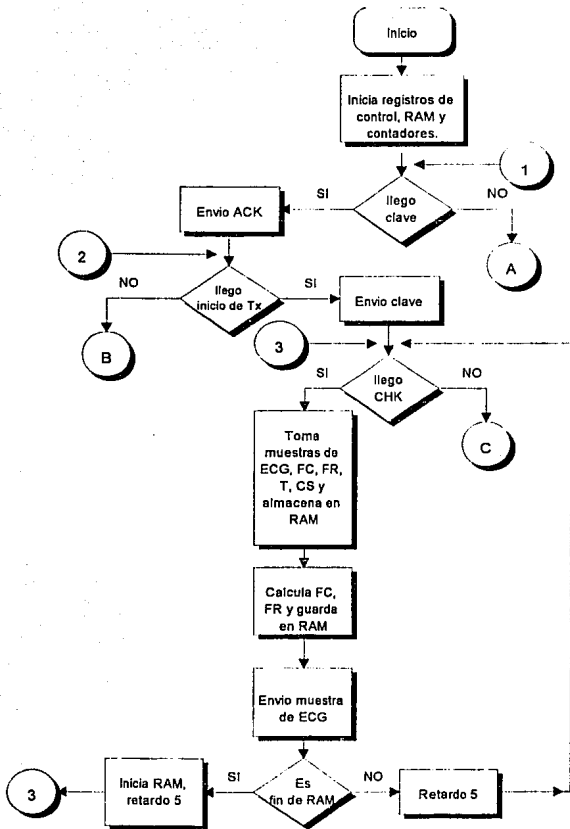


Figura 4.1 Diagrama de bloques de la programación del MBM

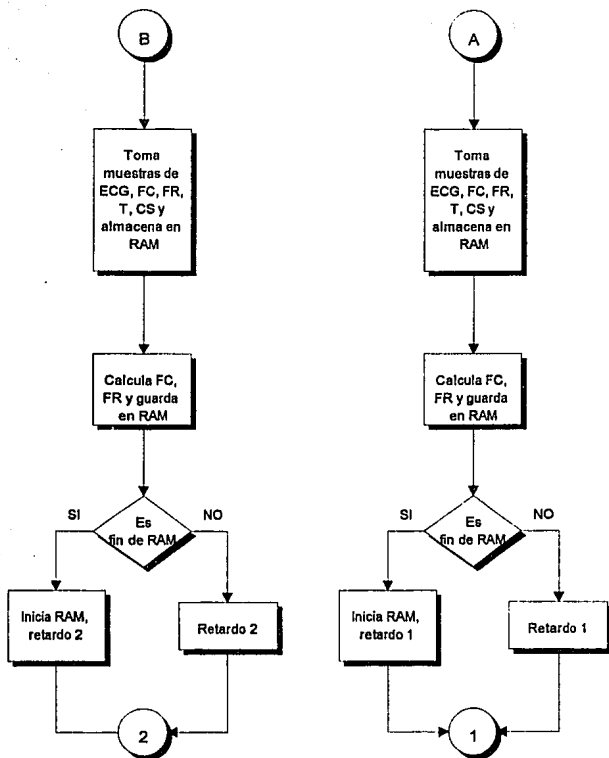


Figura 4.1.-Continuación.

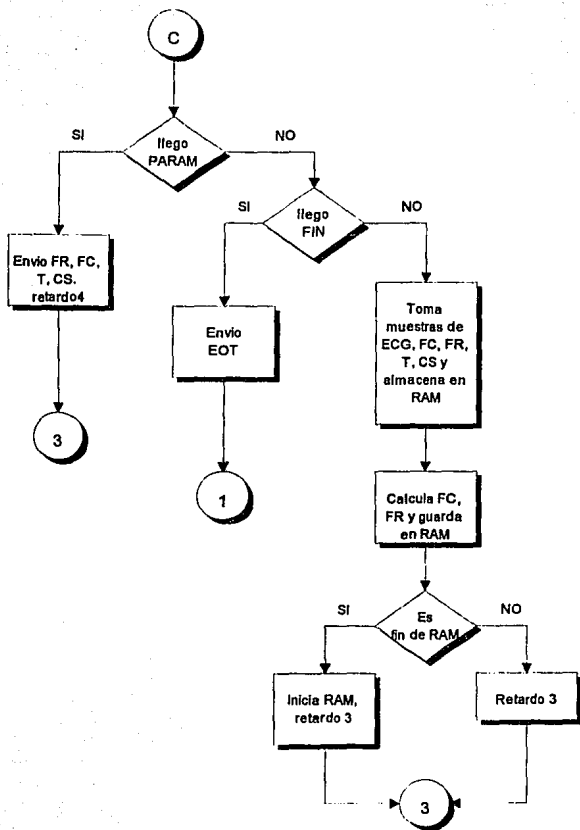


Figura 4.1.- Continuación.

PROGRAMACIÓN INTERACTIVA ELABORADA PARA EL PCE

5.1.- Introducción

El uso de una computadora para el despliegue y adquisición de datos de signos vitales en unidades de cuidados intensivos o en situaciones clínicas similares, es una contribución muy significativa, ya que con ella se cumplen satisfactoriamente los requerimientos de las normas industriales de fabricación de monitores de signos vitales [9], algunos de estos requerimientos (para el despliegue) son los siguientes:

- Los métodos de despliegue deben ser capaces de presentar datos válidos en el tiempo, es decir datos en tiempo real.
- Tener la capacidad de retener la imagen para que pueda ser visualizada.
- Tener una sección de presentación de alarmas.
- Desplegar a la vez caracteres alfanuméricos y gráficas.
- Poder introducir fácilmente datos que interaccionen con el despliegue.

Tomando en cuenta estas características se presenta un programa prototipo de supervisión y administración de la red para el PCE. El programa debe realizar una serie de tareas en las que se incluyen: la interacción con el personal médico, manejo de la información de los pacientes proporcionada por el usuario, y la interacción con cada MBM conectado a la red. Estas tareas deben ser transparentes para el usuario, por ello la programación se elaboró a base de menús en los que el usuario solamente debe elegir la opción que desee realizar y proporcionar la información que se le pide. El programa se elaboró de manera modular para facilitar su mantenimiento y poder integrar nuevas rutinas que mejoren el sistema, fue escrito totalmente en lenguaje C , ya que éste cuenta con las características necesarias para hacer el programa funcional y transportable [17].

Como se ha mencionado el programa se divide en dos partes fundamentales, interacción con el personal médico e interacción con cada MBM, la primera parte se encarga de administrar una pequeña base de datos para almacenar información general de los pacientes, así como de regular las condiciones de encendido de alarmas, esta parte del programa se presenta a base de menús elaborados con el auxilio de la utilería de C denominada "Vlib" [18]. La programación para la interacción con cada MBM incluye el protocolo de comunicaciones descrito en el capítulo anterior, incluye también la parte de ayudas gráficas, con las que se grafica la señal de ECG y los demás signos vitales, cuenta con la activación de alarmas visuales y auditivas para la detección de signos vitales anómalos en el paciente. En los siguientes párrafos se describen detalladamente ambas secciones del programa, mientras que en el apéndice B se muestra un listado completo de la programación elaborada.

5.2.- Programación interactiva con el personal médico

La programación modular nos permite agregar rutinas que permitan modificar el funcionamiento básico del sistema, por ello en esta parte de la programación se elaboraron varias rutinas que permiten trabajar con la base de datos e interactuar con el personal médico, estas rutinas son las opciones del menú principal, como podemos observar en el diagrama de flujo de la figura 5.1, las cuales se describen a continuación.

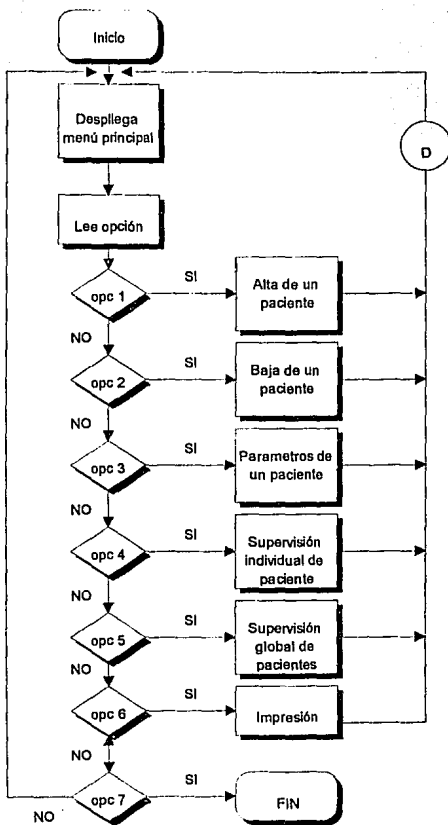


Figura 5.1 Diagrama de flujo para la programación interactiva con el personal médico

Alta de un paciente.- esta rutina actualiza la base de datos de un nuevo paciente, al seleccionarla aparece en pantalla un formato que el usuario debe llenar, en él se pide número de cama, nombre del paciente, dirección, edad y peso, los cuales se pueden cambiar o se pueden añadir nuevos datos modificando esta rutina. Se cuenta también con el uso de dos teclas especiales: <ESC> que se utiliza en todos los casos para cancelar una opción y regresar al menú principal, y <F2> con la que se guardan los datos en disco duro.

Parámetros del paciente.- esta rutina es la encargada de actualizar los niveles de activación de todas las alarmas, al seleccionar esta opción, se despliega en pantalla un formato en el cual el usuario deberá escribir el número de cama, los niveles altos y bajos de activación de alarmas para FC, FR, PS y T, en este punto a diferencia de algunos equipos nacionales y otros comerciales que solamente tienen niveles de alarma determinados, se cuenta con la opción de poder elegir cualesquiera niveles, para activar las alarmas de todas las variables, cumpliendo así con los requerimientos para el sistema de alarmas especificados en la norma 3.2.8 de la *Association for the Advancement of Medical Instrumentation (AAMI)*. Esta opción cuenta también con las teclas de <ESC> y <F2> para retornar al menú principal y guardar la información respectivamente.

Baja de un paciente.- cuando se desea retirar un paciente de la base de datos, esta rutina es la encargada de eliminar todos sus datos incluyendo los niveles de activación de alarmas. Al seleccionar la opción se despliega una ventana preguntando por el número de cama a dar de baja, posteriormente se despliegan en pantalla los datos del paciente seleccionado, esto con el fin de verificar que sea el paciente que se desea dar de baja, finalmente se ratifica la opción seleccionada quedando limpio su registro y retornando el programa al menú principal.

Supervisión individual.- esta rutina se encarga de desplegar en forma gráfica los signos vitales del paciente, dibujando la señal ECG y mostrando los valores numéricos de FC, FR, PS y T, indicando también condiciones anómalas en los signos vitales. En la siguiente sección se discutirán los algoritmos empleados para la graficación de los signos vitales.

Supervisión global.- al igual que en la rutina anterior al ejecutar esta opción se grafican los datos de todos los MBM conectados al PCE, en esta opción se grafica el ECG y se detectan anomalías en signos vitales para la activación de alarmas. Estos algoritmos se discuten en la siguiente sección.

Impresión.- esta rutina se encarga de adquirir un bloque de datos, es decir 4 periodos de la señal de ECG, con sus respectivos datos de FC, FR, PS y T, y los imprime junto con los datos del paciente, la rutina permite elegir dos tipos de impresora, matriz de puntos y láser; esta opción no se utiliza para tener registro del monitoreo en tiempo real, ya que la velocidad de impresión es de aproximadamente 3 minutos por gráfica, solamente se incluye para tener un registro de un determinado momento del monitoreo.

5.3.- Programación para monitoreo de pacientes

Esta parte del programa está formada por tres rutinas gráficas, dos de ellas se utilizan para el monitoreo de signos vitales y una para la impresión de la señal en papel. Como se está graficando en tiempo real los procedimientos no pueden ser muy largos, se deben ejecutar en el menor tiempo posible, por ello se utilizan utilerías gráficas de turbo C llamadas "graphics.h". Las rutinas de supervisión individual y global involucran procedimientos gráficos semejantes, por lo que detallando el algoritmo para supervisión global se entenderá el individual, estas rutinas cuentan con varios procedimientos, como se observa en el diagrama de flujo de la figura 5.2, los cuales se describen a continuación.

Inicializa.- en esta parte se inicializan todas las variables involucradas y se inicializa el modo gráfico de C para poder ejecutar las rutinas gráficas.

Protocolos.- para iniciar la identificación de los MBM conectados a la red se envía el protocolo de comunicaciones, dejando a cada MBM conectado listo para el intercambio de información.

Estando desplegada la pantalla de supervisión global y mientras no se pida supervisar un MBM en particular, se ejecutarán los siguientes procedimientos:

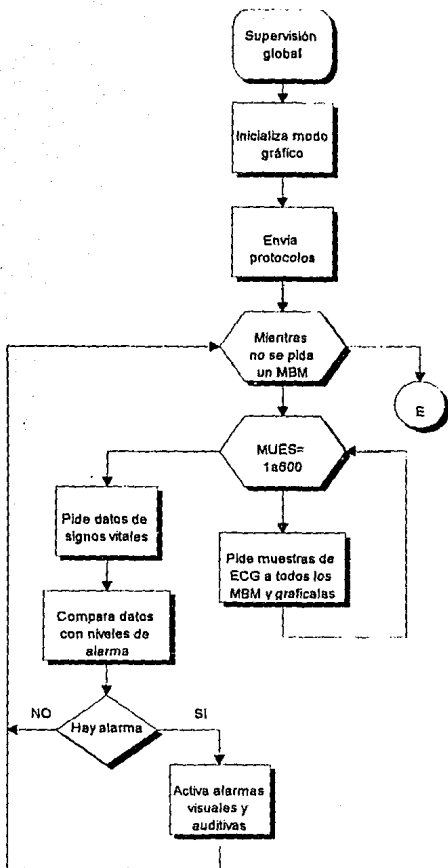


Figura 5.2 Diagrama de flujo para la programación de monitoreo de pacientes

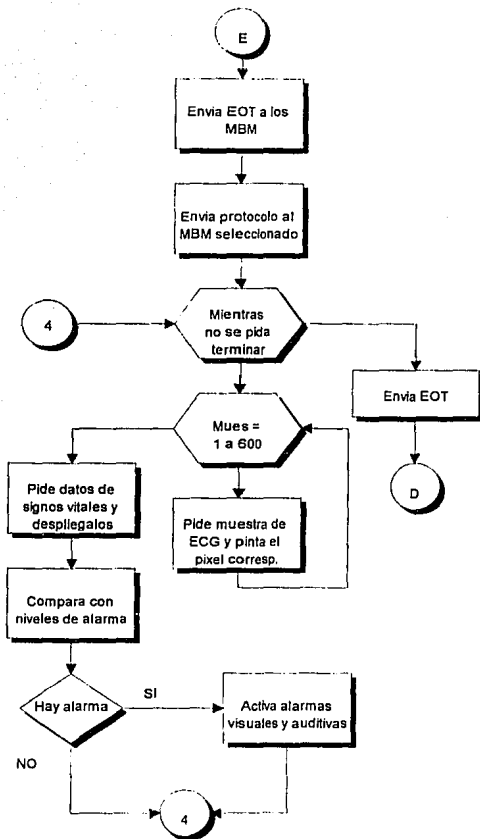


Figura 5.2 Continuación.

Muestras.- una vez identificados los MBM activos se procede a pedir muestras de ECG en orden ascendente, es decir, cada MBM es identificado con un número del 1 al 14, siendo en ese orden la petición de muestras de ECG, se pide una muestra y se pinta el pixel correspondiente de cada MBM, continuando con este proceso hasta completar 150 muestras, que es la resolución que tenemos en el monitor VGA para cada MBM, lo que representa una baja resolución para el monitoreo de ECG, sin embargo el objetivo de este modo de supervisión es el detectar signos vitales anómalos para encender las alarmas y pasar entonces a supervisar de manera individual.

Parámetros.- al completarse la graficación de las 150 muestras de ECG se ejecuta este procedimiento, en el cual se piden los datos de FC, FR, PS y T, los cuales serán comparados con los niveles de alarma proporcionados por el personal médico en la opción de parámetros del paciente.

Alarma.- en el caso de que la comparación reporte signos vitales anómalos, se ejecuta este procedimiento, el cual activa las alarmas visuales y auditivas, las visuales constituyen botones gráficos a los que se añade color y van acompañadas por tonos audibles de corta duración.

Si se pide monitorear algún MBM se ejecutarán los siguientes procedimientos, los cuales corresponden a la supervisión individual.

Termina.- este procedimiento envía el identificador de fin de transmisión a todos los MBM activos, dejándolos listos para iniciar un nuevo protocolo.

Protocolo.- esta rutina envía el protocolo solamente al MBM seleccionado, es decir solamente habrá intercambio de información con él.

Muestra_indiv.- este procedimiento, solicita una muestra de ECG al MBM seleccionado y grafica su pixel correspondiente, continuando con este proceso hasta completar 600 muestras (determinado por la resolución del monitor), lo que representa una frecuencia de muestreo de 250 Hz para una visualización de 4 periodos de ECG, tomando como base la señal mostrada en la figura 3.1; es decir se tiene máxima resolución para el monitoreo de ECG.

Parametros_indiv.- al terminar de graficar las 600 muestras de ECG se ejecuta este procedimiento, el cual pide los datos de los otros signos vitales, los despliega en pantalla y realiza la comparación con los niveles de activación de alarmas, los que en caso de ser revasados activan la rutina de encendido de alarmas descrita anteriormente.

Termina.- al ejecutarse este procedimiento se envía el comando de fin de transmisión al MBM y regresa el programa al menú principal.

El programa diseñado puede correr en cualquier sistema con 640Kb de memoria, puerto serie, disco duro y monitor VGA, pudiendo correr con algunas modificaciones en un monitor EGA o CGA.

En la figura 5.3 se muestran las pantallas para el modo de supervisión individual y global.

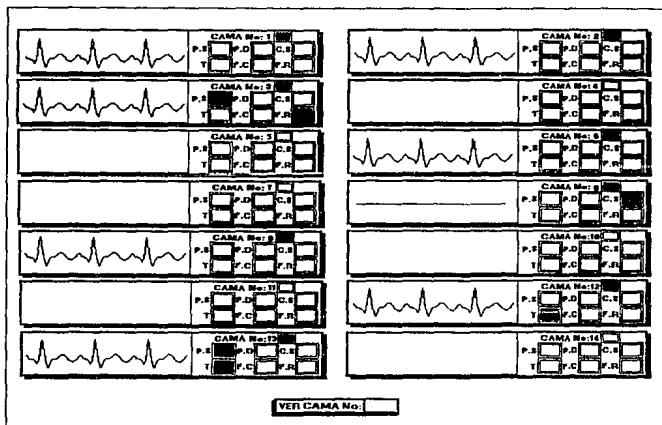
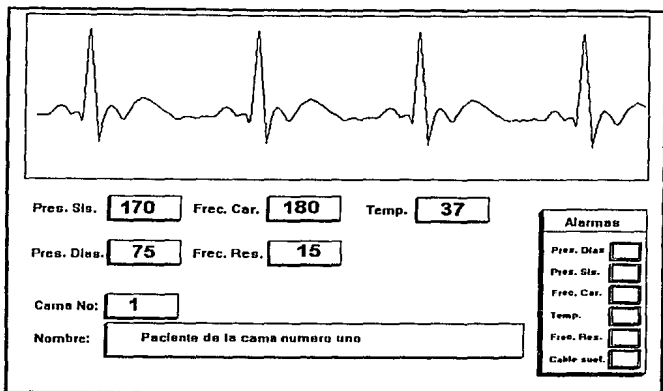


Figura 5.3 Pantallas para monitoreo individual y global.

PRUEBAS REALIZADAS AL MÓDULO BÁSICO DE MONITOREO Y AL PUESTO CENTRAL DE ENFERMERAS

6.1 .- INTRODUCCIÓN

Como se ha mencionado en los capítulos anteriores el equipo está diseñado de manera modular, en donde cada módulo fue probado de manera individual y posteriormente de manera conjunta al integrarse todos los módulos. En el presente capítulo se describirán las pruebas de funcionamiento realizadas al módulo digital (MBM) y al PCE, así como las pruebas realizadas a todos los módulos trabajando en conjunto a excepción del módulo FSK, el cual se encuentra en proceso de validación. Las pruebas realizadas se dividen en tres partes: pruebas modulares, en las cuales se probó cada módulo simulando las señales a procesar; pruebas con simulador, en las cuales se probó el equipo de manera conjunta utilizando como fuente de señal un simulador de ECG, el cual es utilizado para la calibración de equipo médico, y pruebas con paciente, en las cuales se cambia el simulador por un paciente voluntario; este último tipo de pruebas se realizaron previo a la validación del aislamiento del equipo, realizada por personal calificado en el área de ingeniería biomédica.

6.2 - pruebas modulares

Este tipo de pruebas se llevaron a cabo de acuerdo al avance del proyecto, probando primeramente el software diseñado para el sistema, es decir la programación del PCE y los programas en ensamblador para el MBM, posteriormente se utilizaron ambos programas para llevar a cabo la prueba de la arquitectura del MBM.

Pruebas a la programación del PCE

El objetivo de estas pruebas es verificar el buen funcionamiento de las rutinas en ensamblador para el MBM y las rutinas de graficación de ECG, así como la obtención y presentación de los valores numéricos de los signos vitales del paciente y la correcta activación de las alarmas. Para las rutinas de graficación se utilizaron archivos de datos para simular la señal de ECG y los valores de los signos vitales, la graficación de estos datos se realizó de manera adecuada en el modo de supervisión individual, para el modo de supervisión global se utilizó el mismo archivo de datos para los 14 MBM, en ambos casos la graficación se obtuvo de una manera nítida y sin problemas.

En cuanto a la programación en ensamblador del MBM, ésta se realizó probando por separado el buen funcionamiento de cada subrutina de procesamiento, utilizando para ello la ayuda de un simulador del microcontrolador llamado "AVSIM11", con el cual podemos representar en la computadora todas las características del MCU y así evaluar los programas elaborados. Con el simulador se verificó el buen funcionamiento de las rutinas de conversión y almacenamiento de datos, el cálculo de FC y FR, el monitoreo de puertos, transmisión y recepción de datos a través del puerto serie; todo realizado en tiempo real.

Pruebas realizadas al MBM

Estas pruebas fueron realizadas para probar la arquitectura digital diseñada para el MBM. Como el módulo de amplificación y filtrado se encontraba en proceso de desarrollo y validación se simuló las señales vitales a procesar como se observa en el diagrama de la figura 6.1.

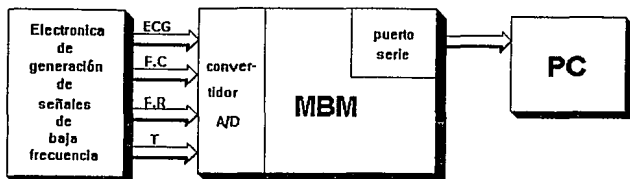


Figura 6.1 Diagrama de bloques para las pruebas realizadas al MBM

Se elaboró un circuito que genera señales de baja frecuencia, cubriendo el rango de la señal de ECG (0.5 - 4 Hz) y que entrega pulsos a la misma frecuencia (30 -240 pulsos por minuto) simulando la señal de FC y FR, además de proporcionar un voltaje correspondiente a la temperatura (15 - 45 °C), con este circuito se simuló la mayor parte de las características del módulo de amplificación y filtrado. Las señales generadas se conectan al convertidor A/D para ser procesadas y enviadas por el puerto serie hacia el PCE para su graficación. Con el correcto funcionamiento del software desarrollado se obtuvo un buen funcionamiento de la arquitectura diseñada.

6.3 .- Pruebas realizadas con simulador de ECG

El objetivo de este tipo de pruebas es realizar la integración de todos los módulos, es decir amplificación y filtrado, MBM y PCE, además de realizar la calibración adecuada del MBM para la correcta obtención de los valores numéricos de FC y FR; para lograrlo se utilizó como fuente de señal un simulador de ECG, el cual

cuenta con todas las derivaciones posibles [3] para la generación de la señal ECG y frecuencias de 30, 60, 120 y 240 pulsos por minuto, con lo que se cubre el rango de frecuencias para monitoreo cardiaco; este simulador es utilizado en hospitales para la calibración de equipo de monitoreo cardiaco, por lo que se utilizó como referencia para la calibración del equipo diseñado. Las pruebas se realizaron con la configuración mostrada en el diagrama de la figura 6.2, se utilizaron los programas del MBM y el PCE probados anteriormente. Las pruebas de funcionamiento continuo proporcionaron los siguientes resultados:

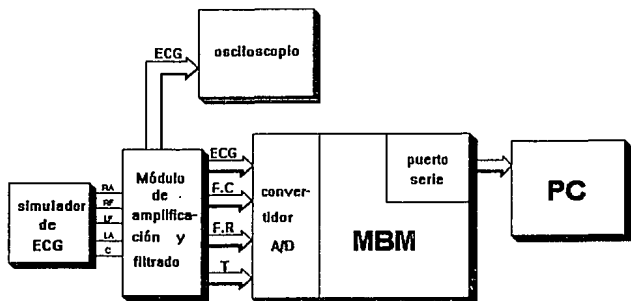


Figura 6.2 Diagrama de bloques para las pruebas realizadas con simulador.

- La visualización de la señal de ECG fue satisfactoria, es decir se presenta una señal con buena nitidez comparándola con la señal original mostrada en el osciloscopio.

- Los valores numéricos de FC, FR y T son aceptables en el rango de 30 a 120 ppm; en el rango de 240 ppm se tiene un error de 2 ppm, el cual de acuerdo a las normas AAMI es aceptable y coincide con el error teórico esperado, en la siguiente tabla se muestran estas características de funcionamiento.

simulador	MBM	error
FC en ppm	FC en ppm	en ppm
30	30	0
60	60	0
120	121	1
240	238	2

-La activación de alarmas se realizo de manera adecuada al sobrepasar los límites establecidos.

En la figura 6.3 se muestra una impresión de la señal ECG y los datos de los signos vitales obtenidos al conectar el simulador, esta gráfica nos muestra el buen funcionamiento del software diseñado para la impresión y graficación de la señal.

6.4.- Pruebas realizadas con paciente

Este tipo de pruebas requiere de un control adecuado del equipo ya que al encontrarse conectado directamente al cuerpo puede resultar peligroso para el paciente si el equipo no está debidamente aislado. Estas pruebas se realizaron bajo la supervisión de personal especializado, los cuales realizaron la validación del aislamiento del equipo. Con la ayuda de un voluntario se realizaron las pruebas de monitoreo obteniendo los siguientes resultados:

-El monitoreo de la señal de ECG es nítido pero presenta desplazamientos de la señal a medida que se mueve el paciente, esto es debido a que el módulo amplificador no cuenta con circuitos de corrección de línea basal [3].

-Los valores de los signos vitales los podemos considerar correctos, ya que el equipo se probó y calibró con el simulador de ECG. El valor de FR se encuentra dentro del rango normal, comparado con un equipo comercial calibrado, con lo que aseguramos que se trata de un valor correcto de FR. La temperatura desplegada se comparó con un termómetro digital, con lo cual podemos asegurar su correcto funcionamiento. Los sensores del equipo diseñado y los de equipos comerciales se colocaron al mismo paciente para realizar una comparación de ambos equipos. En el siguiente cuadro se muestran los resultados obtenidos en esta prueba.

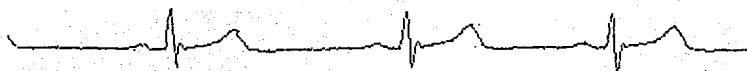
MBM				Equipo comercial		
No lectura	FC	FR	Temp.	FC	FR	Temp
	(ppm)	(ppm)	(°C)	(ppm)	(ppm)	(°C)
1	58	14	36.4	58	13	36.5
2	60	13	36.6	60	13	36.6
3	60	15	36.1	60	15	36.0
4	65	15	36.3	65	15	36.5
5	71	17	37.0	70	16	36.9
6	78	18	36.6	78	18	36.6
7	70	16	36.4	71	15	36.4
8	68	14	36.7	68	14	36.6
9	60	13	36.3	60	13	36.3
10	60	12	36.4	60	12	36.1

En la figura 6.4 se muestra la impresión de siete derivaciones de ECG y los signos vitales del paciente, mientras que en la figura 6.4a se muestran algunas impresiones de otros equipos diseñados en el país. Es importante mencionar que para una validación clínica, el equipo debe ser probado y validado por personal médico especializado.

En la siguiente tabla se enlistan las especificaciones obtenidas hasta el momento para el equipo diseñado.

ESPECIFICACIONES GENERALES

Características	Especificaciones
<u>Impedancia de entrada</u> modo común modo diferencial	mayor a $5 \times 10^{10} \Omega$ mayor a $10^8 \Omega$
<u>EKG</u> respuesta en frecuencia ganancia calibración aislamiento	0,5 a 40 Hz 1400 sin calibración mayor a 120 dB
<u>Frecuencia cardiaca</u> rango precisión límite de alarmas	20 a 250 PPM $\pm 3\%$ o 3 PPM fijado por el usuario en cualquier rango
<u>Frecuencia respiratoria</u> rango precisión límite de alarmas	8 a 150 PPM ± 3 PPM fijado por el usuario en cualquier rango
<u>Temperatura</u> rango precisión límite de alarmas	15 a 45°C $\pm 0.2^\circ\text{C}$ fijado por el usuario en cualquier rango
<u>Comunicación</u> Longitud de palabra modo de operación velocidad de transmisión tipo de comunicación interface	8 bits de datos, 1 bit de inicio, 1 bit de stop, sin paridad fullduplex 9600 bauds asíncrona RS-232
<u>Sistema digital</u> frecuencia de muestreo resolución del convertidor velocidad de conversión rango de conversión memoria RAM memoria EPROM	250 Hz 8 bits 16 microsegundos 0 a 5 volts 2 Kbytes 4 Kbytes



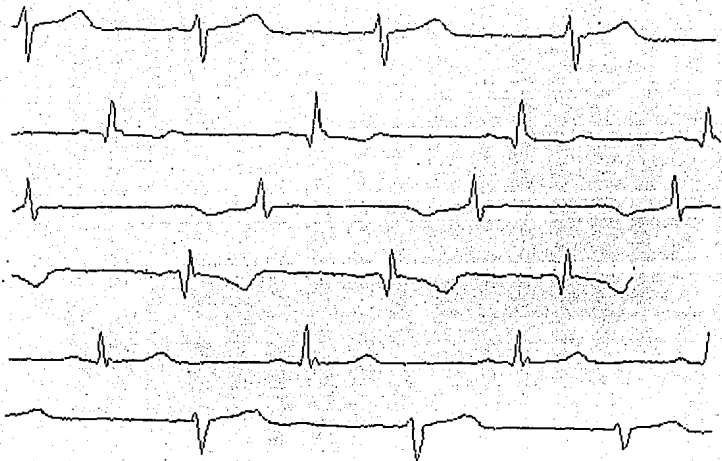
Pres. Síst. : 1 Frec. Car. : 61 Temp. : 36.7

Pres. Diast. : 1 Frec. Resp. : 7

Cana No. : 1

Nombre :

Figura 6.3 Graficación de signos vitales con simulador.



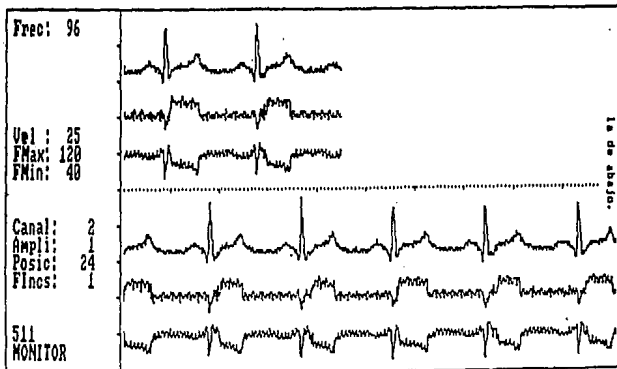
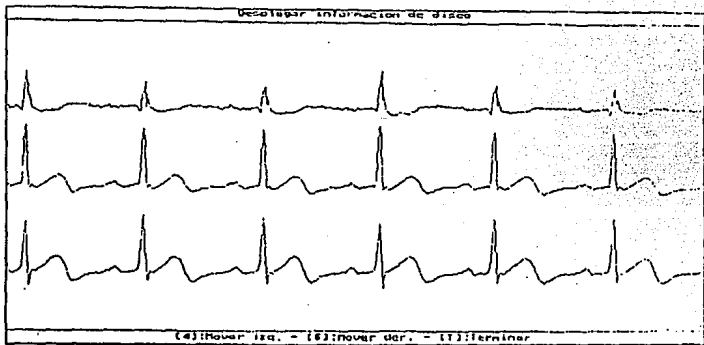
Pres. Sisl. : 1 Frec. Car. : 68 Temp. : 36.7

Pres. Diast. : 1 Frec. Resp. : 14

Cana Ho. : 1

Nombre : Ricardo Silva G.

Figura 6.4 Graficación de signos vitales con paciente.



F1)Sube F2)Baja F3)Congela F4)Guarda F5)Ampli F6)Reduce F7)Vel
PgUp-PgDn)NivelDc -+)Incremento 1..3)Canal (End)

Figura 6.4a Graficación de signos vitales de equipos nacionales.

CONCLUSIONES Y RECOMENDACIONES

A lo largo del presente trabajo se han descrito las características de diseño y construcción de un sistema modular para el monitoreo de signos vitales, se han detallado las características del módulo básico de monitoreo y el puesto central de enfermeras, módulos desarrollados en la presente tesis. A partir del trabajo desarrollado en el diseño, construcción, integración y pruebas realizadas a cada módulo se adquirieron experiencias que permitirán realizar mejoras al sistema de monitoreo.

En el presente capítulo se describen las conclusiones del trabajo elaborado en cada módulo y de las pruebas realizadas al sistema integrado, así mismo, se mencionan algunas recomendaciones que permitirán mejorar y concluir el sistema de monitoreo.

Conclusiones

- 1) Se construyó un sistema prototipo para el monitoreo de signos vitales, el cual despliega la señal del corazón ECG (electrocardiograma) e indica datos de frecuencia cardíaca, temperatura y frecuencia respiratoria, realiza además la activación de alarmas sobre signos vitales anómalos en el paciente y detección de electrodos sueltos, con posibilidades de integrar en el futuro la detección de presión sanguínea.
- 2) Se cumplió con el objetivo de realizar un diseño modular, desarrollando los módulos del puesto central de enfermeras y el módulo básico de monitoreo, éste último interactúa con el módulo de amplificación y filtrado para integrar el sistema de monitoreo.
- 3) Los módulos diseñados en el presente trabajo (MBM y PCE), así como los diseñados en otra tesis complementaria (amplificación y filtrado) cumplen satisfactoriamente con las normas establecidas por la "Association for the Advancement of Medical Instrumentation" (AAMI).
- 4) Se logró obtener un diseño compacto del MBM, su arquitectura está diseñada para poder integrar en el futuro un sistema de despliegue local usando un circuito de refresco de memoria con un tubo de rayos catódicos, o bien, una pantalla de cristal líquido.
- 5) En cuanto a la programación del MBM, ésta se realizó de manera modular, logrando con ello procesar datos en tiempo real. Este aspecto permitirá integrar las nuevas rutinas de procesamiento de presión sanguínea, así como actualizar cualquiera de los procedimientos escritos de manera sencilla.
- 6) Se integró un puesto central de enfermeras que realiza las funciones de despliegue de señales de un MBM y al mismo tiempo realiza tareas de administración de datos de los MBM's que se encuentren conectados en red, por el momento solo un MBM se conecta al PCE.

7) La programación del PCE se realizó de manera modular permitiendo un fácil mantenimiento para la adición de nuevas rutinas de procesamiento; las rutinas de gráficación permiten obtener con excelente nitidez la señal de ECG en comparación con algunos equipos nacionales e importados.

8) Por las características obtenidas el sistema podrá ser empleado por el momento como un sistema de monitoreo, pudiendo utilizarse posteriormente como una red de monitores de signos vitales.

Recomendaciones

1) Para que el sistema sea totalmente independiente del PCE es recomendable continuar el trabajo de despliegue local, siendo más conveniente (peso y potencia) el uso de pantallas de cristal líquido que cuenten con interfaz serie o paralelo.

2) Para aumentar la resolución de las señales adquiridas se puede disminuir la ventana de conversión en el MBM, teniendo así lecturas más exactas de los signos vitales.

3) Por el momento la electrónica se encuentra alambrada con la técnica de "wire-wrap", por lo que realizados los cambios que sean necesarios se debe diseñar y fabricar el sistema en circuito impreso.

4) En el PCE se realiza solamente el despliegue de las señales y la administración de la red, sin embargo es conveniente realizar algún tipo de procesamiento para el análisis y reconocimiento de señales de ECG.

5) Para el uso de una red de MBM's se deben concluir los trabajos del modem FSK que permitirá conectar los 14 MBM's al PCE.

6) Es muy importante que el equipo sea examinado y validado por personal médico especializado en cardiología para probar su funcionamiento en el ambiente clínico.

**ESTA TESIS NO DEBE
SALIR DE LA BIBLIOTECA**

1. CEDAT, "Catalogo de servicios y productos", Secretaría de salubridad y asistencia (SSA), 1992.
2. Richard Aston Principles of Biomedical Instrumentation and Measurements", Merrill Publishing Company, Columbus, 1990.
3. L.A.Geddes, L.E. Baker, "Principles of Applied Biomedical Instrumentation", Jhon Wiley, New York, 1975.
4. Motorola Semiconductors "Reference Manual MC68HC11", 1991.
5. Robert J. Mayhon, "Discrete Time and Continuous Time Linear System", Addison-Wesley, 1984.
6. Willis J. Tompkins. "Design of Microcomputer-based Medical Instrumentation" Webster, Prentice-Hall, 1981.
7. L.Edenbrandt, et al. "Reconstruction of the Electrocardiogram During Heart Surgery", Computers and Biomedical Research, vol.25, No 6, pp.538-546 December 1992.
8. Wendell C. Ocasio, et al. "Bpshape WK4: A Computer Program That Implements a Physiological Model for Analyzing the Shape of Blood Pressure Waveforms", Computer Methods and Programs in biomedicine vol. 39, pp. 169-194, april 1993.
9. Association for the Advancement of Medical Instrumentation (AAMI), "Cardiac Monitor, Heart Rate Meters and Alarms Norms", EC13 - 1983.
10. Dynapulse 2000, "Looking Beyond Blood Pressure Measurement, Technical Specifications", Pulse Metric, Inc. 1993.

11. Yañez S. O. et al. "Detección de complejos QRS normales en registros de electrocardiografía ambulatoria de 24 horas", Rev. Mex. Ing. Biomed. pp. 63 - 74, vol. II No. 1, Nov. 1990.
12. Tovar O. et al. "Monitor simulador de ECG para enseñanza", Rev. Mex. Ing. Biomed., pp. 79 - 85, vol. 9, 1988.
13. Schure Alexander, "Basic Television", Marcombo, 1974.
14. Schuartz Mischa, "Information, Transmission, Modulation and Noise", Mc Graw-Hill, 1990.
15. Gerardo A. Paulín, Edgar C. M. "Comunicación por medio de las líneas de alta tensión", Rev. Ingenio, ENEP Aragón UNAM, pp. 19 - 24, feb. 1986.
16. Kruglinski David, "Guía de las comunicaciones del IBM PC", Mc Graw-Hill, 1985.
17. Herbert Schildt, "Turbo C/C++, the Complete Reference", Mc Graw-Hill, 1992.
18. Pathfinder Associates Inc. "vlib Manual", 1991.

LISTADO DE PROGRAMACIÓN DEL MBM

```
0001
0002      *****
0003      *** ASIGNACION DE CONSTANTES ***
0004      *****
0004      f000                      ORG $F000
0005      1039  OPTIONS             EQU $1039  activo C/AD
0006      102c  SCCR                EQU $102C  controla longitud de datos
0007      102b  BAUD                EQU $102B  controla baudaje
0008      102d  SCCR2              EQU $102D  controla Tx y Rx
0009      102e  SCSR               EQU $102E  registro de status
0010      102f  SCDR               EQU $102F  registro de datos
0011      1030  ADCTL              EQU $1030  control del C A/D
0012      1031  ADR1               EQU $1031  registros de datos
0013      1032  ADR2               EQU $1032  del convertidor
0014      1033  ADR3               EQU $1033  analógico-digital
0015      1034  ADR4               EQU $1034
0016      1000  PORTA              EQU $1000  puerto A
```

0017	0c10	CONTEFC	EQU \$0C10	contador de F.C.
0018	0c12	CONTRFR	EQU \$0C12	contadores para F.R.
0019	0c14	CONTA	EQU \$0C14	
0020	0c15	CONTB	EQU \$0C15	
0021	0c16	CONTECG	EQU \$0C16	contador de ECG
0022	0c18	DTEMP	EQU \$0C18	dato de temperatura
0023	0c1a	DFC	EQU \$0C1A	dato de F.C
0024	0c1c	DFR	EQU \$0C1C	dato de F.R
0025	0c1e	DCS	EQU \$0C1E	dato de C.S
0026	0c20	DPSS	EQU \$0C20	dato de P.S.sistólica
0027	0c22	DPSD	EQU \$0C22	dato de P.S diastólica

0028

0029

0030

 * INICIALIZACION

0031	f000	8e 0f fe	LDS #\$0FFE	inicializo el stack
0032	f003	c6 90	LDAB #\$90	activo potencia para el
0033	f005	f7 10 39	STAB OPTIONS	C A/D
0034	f008	c6 00	LDAB #\$00	fijo longitud de palabra
0035	f00a	f7 10 2c	STAB SCCR1	en 8 bits
0036	f00d	c6 30	LDAB #\$30	fijo baudaje en 9600 bauds
0037	f00f	f7 10 2b	STAB BAUD	
0038	f012	c6 0c	LDAB #\$0C	habilito Tx y Rx
0039	f014	f7 10 2d	STAB SCCR2	
0040	f017	18 ce 00 00	LDY #\$0000	inicio cont. de F.C
0041	f01b	18 ff 0c 10	STY CONTEFC	guardo cont. en dir. 0
0042	f01f	ce 00 00	LDX #\$0000	inicio cont. de F.R
0043	f022	ff 0c 12	STX CONTRFR	guardo cont. en dir. 2
0044	f025	86 00	LDAA #\$00	inicio contadores de
0045	f027	b7 0c 14	STAA CONTA	F.C y F.R
0046	f02a	c6 00	LDAB #\$00	
0047	f02c	f7 0c 15	STAB CONTB	
0048	f02f	ce 08 00	LDX #\$0800	inicio cont. de
0049	f032	ff 0c 16	STX CONTECG	muestras de ECG

0050	f035	c6 b4	LDAB #B4	inicio los datos
0051	f037	f7 0c 20	STAB DPSS	simulados de presion
0052	f03a	c6 3c	LDAB #3C	sistolica y diastolica
0053	f03c	f7 0c 22	STAB DPSS	

0054 *****

0055 * PROGRAMA PRINCIPAL

0056 *****

0057 *****

0058 * PREGUNTA POR CLAVE

0059 *****

0060	f03f	bd f1 a5	CLV: JSR RX	pregunta si llego algo
0061	f042	f6 10 2f	LDAB SCDR	si llego algo comparalo con
0062	f045	c1 01	CMPB #01	clave
0063	f047	26 47	BNE NOCLV	si no es clave ve a noclv
0064	f049	c6 06	LDAB #06	Tx un ack
0065	f04b	f7 10 2f	STAB SCDR	
0066	f04e	bd f1 af	JSR TXC	

0067 *****

0068 * PREGUNTA POR INICIO DE Tx

0069 *****

0070	f051	bd f1 a5	INTX: JSR RX	pregunta si llego algo
0071	f054	f6 10 2f	LDAB SCDR	si llego comparalo con
0072	f057	c1 10	CMPB #10	inicio de transmision
0073	f059	26 4d	BNE NINTX	si no es inicio ve a nintx
0074	f05b	c6 01	LDAB #01	si es el inicio Tx la clave
0075	f05d	f7 10 2f	STAB SCDR	
0076	f060	bd f1 af	JSR TXC	

```

0077      *****
0078      * PREGUNTA POR CHK
0079      *****

0080  f063  bd f1 a5  CHK: JSR RX      pregunta si llego algo
0081  f066  f6 10 2f  LDAB SCDR      si llego comparalo con CHK
0082  f069  c1 1f      CMPB # $1F
0083  f06b  26 53      BNE VAR      si no es chk ve a VAR
0084  f06d  bd f1 b9  JSR TMGETC    si es chk toma muestra
0085  f070  fe 0c 16  LDX CONTECG
0086  f073  e6 00      LDAB $00,X
0087  f075  f7 10 2f  STAB SCDR     Tx muestra
0088  f078  bd f1 af  JSR TXC
0089  f07b  bd f1 dc  JSR F.C      calcula F.C
0090  f07e  bd f2 26  JSR F.R      calcula F.R
0091  f081  fe 0c 16  LDX CONTECG  cargo cont. de ECG
0092  f084  08          INX          incrementa dir. de datos
0093  f085  8c 0c 00  CPX # $0C00  si no llego al final
0094  f088  26 03      BNE SAL      ve a retardo
0095  f08a  ce 08 00  LDX # $0800  si llego al final
0096  f08d  7e f1 8d  SAL: JMP RET  inicia contador de muestras

```

```

0097      *****
0098      * SECCION DE NO CLAVE
0099      *****

0100  f090  bd f1 b9  NOCLV: JSR TMGETC  ve a tomar una muestra
0101  f093  bd f1 dc  JSR F.C      calcula F.C
0102  f096  bd f2 26  JSR F.R      calcula F.R
0103  f099  fe 0c 16  LDX CONTECG  cargo cont. de ECG
0104  f09c  08          INX          si dir. de los datos no
0105  f09d  8c 0c 00  CPX # $0C00  llego al final
0106  f0a0  26 03      BNE RENO     ve a retardo
0107  f0a2  ce 08 00  LDX # $0800  si llego al final inicio
0108  f0a5  7e f1 75  RENO: JMP RNC  cont. de ECG

```

0109
0110
0111

* SECCION DE NO INICIO DE TX

0112	f0a8	bd f1 b9	NINTX: JSR TMGETC	ve a tomar una muestra
0113	f0ab	bd f1 dc	JSR F.C	calcula F.C
0114	f0ae	bd f2 26	JSR F.R	calcula F.R
0115	f0b1	fe 0c 16	LDX CONTECG	cargo cont. de ECG
0116	f0b4	08	INX	si dir.de los datos no
0117	f0b5	8c 0c 00	CPX #0C00	llego al final
0118	f0b8	26 03	BNE RENI	ve a retardo
0119	f0ba	ce 08 00	LDX #0800	si llego al final
0120	f0bd	7e f1 81	RENI: JMP RNINT	inicia cont. de muestras

0121
0122
0123

* SECCION DE ENVIO DE VARIABLES

0124	f0c0	c1 26	VAR: CMPB #26	envio variables?
0125	f0c2	26 79	BNE BEND	no, ve a endtx
0126	f0c4	f6 0c 18	LDAB DTEMP	si, envio todas las
0127	f0c7	f7 10 2f	STAB SCDR	variables
0128	f0ca	bd f1 af	JSR TXC	
0129	f0cd	bd f1 a5	JSR RX	
0130	f0d0	f6 10 2f	FREC: LDAB SCDR	
0131	f0d3	c1 27	CMPB #27	
0132	f0d5	26 f9	BNE FREC	
0133	f0d7	b6 0c 1a	LDAA \$0C1A	
0134	f0da	81 00	CMPA #00	
0135	f0dc	26 62	BNE N.F	
0136	f0de	f6 0c 1b	LDAB \$0C1B	frecuencia cardiaca
0137	f0e1	f7 10 2f	STAB SCDR	
0138	f0e4	bd f1 af	JSR TXC	
0139	f0e7	bd f1 a5	JSR RX	
0140	f0ea	f6 10 2f	FRER: LDAB SCDR	

0141	f0ed	c1 28	CMPB #28	
0142	f0ef	26 f9	BNE FRER	
0143	f0f1	b6 0c 1c	LDAA \$0C1C	
0144	f0f4	81 00	CMPA #00	
0145	f0f6	26 53	BNE N.F.R	
0146	f0f8	f6 0c 1d	LDAB \$0C1D	frecuencia respiratoria
0147	f0fb	f7 10 2f	STAB SCDR	
0148	f0fe	bd f1 af	JSR TXC	
0149	f101	bd f1 a5	JSR RX	
0150	f104	f6 10 2f	CASU: LDAB SCDR	
0151	f107	c1 29	CMPB #29	
0152	f109	26 f9	BNE CASU	
0153	f10b	f6 0c 1e	LDAB DCS	cable suelto
0154	f10e	f7 10 2f	STAB SCDR	
0155	f111	bd f1 af	JSR TXC	
0156	f114	bd f1 a5	JSR RX	
0157	f117	f6 10 2f	PRES: LDAB SCDR	
0158	f11a	c1 30	CMPB #30	
0159	f11c	26 f9	BNE PRES	
0160	f11e	f6 0c 20	LDAB DPSS	presion sanguinea sist.
0161	f121	f7 10 2f	STAB SCDR	
0162	f124	bd f1 af	JSR TXC	
0163	f127	bd f1 a5	JSR RX	
0164	f12a	f6 10 2f	PRED: LDAB SCDR	
0165	f12d	c1 31	CMPB #31	
0166	f12f	26 f9	BNE PRED	
0167	f131	f6 0c 22	LDAB DPSD	presion sanguinea dist.
0168	f134	f7 10 2f	STAB SCDR	
0169	f137	bd f1 af	JSR TXC	
0170	f13a	7e f0 63	JMP CHK	ve a CHK
0171	f13d	7e f1 56	BEND: JMP ENDTX	
0172	f140	86 00	N.F: LDAA #00	
0173	f142	b7 10 2f	STAA SCDR	
0174	f145	bd f1 af	JSR TXC	
0175	f148	7e f0 ea	JMP FRER	
0176	f14b	86 00	N.F.R: LDAA #00	

0177	f14d	b7 10 2f	STAA SCDR
0178	f150	bd f1 af	JSR TXC
0179	f153	7e f1 04	JMP CASU

0180 *****
 0181 * SECCION DE FIN DE TRANSMISION
 0182 *****

0183	f156	c1 04	ENDTX: CMPB #S04	si no es fin de tx
0184	f158	26 03	BNE NCHK	ve a nchk
0185	f15a	7e f0 3f	JMP CLV	

0186 *****
 0187 * SECCION DE NO ENVIO DE MUESTRA
 0188 *****

0189	f15d	bd f1 b9	NCHK: JSR TMGETC	ve a tomar una muestra
0190	f160	bd f1 dc	JSR F.C	calcula F.C
0191	f163	bd f2 26	JSR F.R	calcula F.R
0192	f166	fe 0c 16	LDX CONTECG	
0193	f169	08	INX	si dir. de los datos no
0194	f16a	8c 0c 00	CPX #S0C00	llego al final
0195	f16d	26 2a	BNE RNCHK	ve a retardo
0196	f16f	ce 08 00	LDX #S0800	si llego al final
0197	f172	7e f1 99	JMP RNCHK	inicia cont. de muestras

0198 *****
 0199 * RETARDOS
 0200 *****

0201	f175	ff 0c 16	RNC: STX CONTECG	genera un retardo
0202	f178	ce 03 b4	LDX #S03B4	y va a preguntar
0203	f17b	09	CIN: DEX	por clave

0204	f17c	26 fd	BNE CIN	
0205	f17e	7e f0 3f	JMP CLV	
0206			*****	
0207	f181	ff 0c 16	RNINT: STX CONTECG	genera un retardo
0208	f184	ce 03 a2	LDX #03A2	y va a preguntar
0209	f187	09	SEIS: DEX	por inicio de tx
0210	f188	26 fd	BNE SEIS	
0211	f18a	7e f0 51	JMP INTX	
0212			*****	
0213	f18d	ff 0c 16	RET: STX CONTECG	genera un retardo
0214	f190	ce 02 44	LDX #0244	y va a preguntar
0215	f193	09	OCHO: DEX	por chk
0216	f194	26 fd	BNE OCHO	
0217	f196	7e f0 63	JMP CHK	
0218			*****	
0219	f199	ff 0c 16	NCHK: STX CONTECG	genera un retardo
0220	f19c	ce 03 a1	LDX #03A1	y va a preguntar
0221	f19f	09	SIETE: DEX	por chk
0222	f1a0	26 fd	BNE SIETE	
0223	f1a2	7e f0 63	JMP CHK	
0224			*****	
0225			* SUBRUTINAS	
0226			*****	
0227			*RECEPCION	
0228			*****	
0229	f1a5	f6 10 2e	RX: LDAB SCSR	pregunta si llego dato
0230	f1a8	c4 20	ANDB #20	
0231	f1aa	c1 20	CMPB #20	por el puerto serie
0232	f1ac	26 f7	BNE RX	
0233	f1ae	39	RTS	

0234 *****

0235 * TRANSMISION

0236 *****

0237 f1af f6 10 2e TXC: LDAB SCSR envia un dato por el

0238 f1b2 c4 80 ANDB #80

0239 f1b4 c1 80 CMPB #80 puerto serie

0240 f1b6 26 f7 BNE TXC

0241 f1b8 39 RTS

0242 *****

0243 *TOMA MUESTRA Y GUARDA

0244 *****

0245 f1b9 c6 10 TMGETC: LDAB #80 activo 4 canales de

0246 f1bb f7 10 30 STAB ADCTL conversion

0247 f1be f6 10 30 TC: LDAB ADCTL pregunto si termino

0248 f1c1 c4 80 ANDB #80 la conversion

0249 f1c3 c1 80 CMPB #80

0250 f1c5 26 f7 BNE TC

0251 f1c7 fe 0c 16 LDX CONTECG guardo dato de ECG en la

0252 f1ca f6 10 31 LDAB ADR1 direccion de CONTECG

0253 f1cd e7 00 STAB \$00,X

0254 f1cf f6 10 32 LDAB ADR2 guardo dato de temperatura

0255 f1d2 f7 0c 18 STAB DTEMP

0256 f1d5 f6 10 00 LDAB PORTA leo el puerto a y guardo

0257 f1d8 f7 0c 1e STAB DCS el dato de cable suelto

0258 f1db 39 RTS

0259
0260
0261

* FRECUENCIA CARDIACA

0262	f1dc	f6 10 33	F.C: LDAB ADR3	cargo el dato de F.C
0263	f1df	c1 80	CMPB #80	si el dato es bajo
0264	f1e1	23 1b	BLS NOFCHI	ve a nofchi
0265	f1e3	b6 0c 14	LDAA CONTA	si es alto cargo cont a
0266	f1e6	4c	INCA	para calcular o inic.
0267	f1e7	81 01	CMPA #01	el contador de F.C
0268	f1e9	26 2a	BNE NOA	ve a noa
0269	f1eb	b7 0c 14	STAA CONTA	calcula la frecuencia
0270	f1ee	fe 0c 10	LDX CONTFC	cardiaca en pulsos por min
0271	f1f1	c6 07	LDAB #07	"parte alta del pulso"
0272	f1f3	3a	ABX	
0273	f1f4	cc 4e 20	LDD #4E20	
0274	f1f7	02	IDIV	
0275	f1f8	ff 0c 1a	STX DFC	
0276	f1fb	7e f2 25	JMP TER	
0277	f1fe	18 fe 0c 10	NOFCHI: LDY CONTFC	cargo el CONTFC, lo
0278	f202	18 08	INY	incrementa y la guarda
0279	f204	86 00	LDAA #00	
0280	f206	18 ff 0c 10	STY CONTFC	
0281	f20a	b7 0c 14	STAA CONTA	
0282	f20d	c6 0b	LDAB #0B	retardo
0283	f20f	5a	CUA: DECB	
0284	f210	26 fd	BNE CUA	
0285	f212	7e f2 25	JMP TER	
0286	f215	b7 0c 14	NOA: STAA CONTA	inicia contador de
0287	f218	18 ce 00 00	LDY #0000	frecuencia cardiaca
0288	f21c	18 ff 0c 10	STY CONTFC	
0289	f220	c6 0a	LDAB #0A	retardo
0290	f222	5a	TRES: DECB	
0291	f223	26 fd	BNE TRES	
0292	f225	39	TER: RTS	

0293
0294
0295

* FRECUENCIA RESPIRATORIA

0296	f226	b6 10 34	F.R: LDAA ADR4	cargo el dato de FR
0297	f229	81 80	CMPA #\$80	si el dato es bajo
0298	f22b	23 1b	BLS NOFRHI	ve a NOFRHI
0299	f22d	f6 0c 15	LDAB CONTB	si es alto cargo cont b
0300	f230	5c	INCB	para calcular o inic
0301	f231	c1 01	CMPB #\$01	el contador de FR
0302	f233	26 27	BNE NOB	ve a nob
0303	f235	f7 0c 15	STAB CONTB	calcula la frecuencia
0304	f238	fe 0c 12	LDX CONTFR	respiratoria en ppm
0305	f23b	c6 07	LDAB #\$07	parte alta del pulso
0306	f23d	3a	ABX	
0307	f23e	cc 4e 20	LDD #\$4E20	
0308	f241	02	IDIV	
0309	f242	ff 0c 1c	STX DFR	
0310	f245	7e f2 6a	JMP FIN	
0311	f248	fe 0c 12 NOFRHI:	LDX CONTFR	cargo el cont. de FR, lo
0312	f24b	08	INX	incrementa y lo guarda
0313	f24c	c6 00	LDAB #\$00	
0314	f24e	ff 0c 12	STX CONTFR	
0315	f251	f7 0c 15	STAB CONTB	
0316	f254	c6 0b	LDAB #\$0B	retardo
0317	f256	5a	DOS: DECB	
0318	f257	26 fd	BNE DOS	
0319	f259	7e f2 6a	JMP FIN	
0320	f25c	f7 0c 15	NOB: STAB CONTB	inicia contador de
0321	f25f	ce 00 00	LDX #\$0000	frecuencia respiratoria
0322	f262	ff 0c 12	STX CONTFR	
0323	f265	c6 0a	LDAB #\$0A	retardo
0324	f267	5a	UNO: DECB	
0325	f268	26 fd	BNE UNO	
0326	f26a	39	FIN: RTS	
0327			END	fin del programa

Listados de programas elaborados para el PCE

Programa para la interacción con el personal médico.

```
/* Archivos de cabecera */
#include <vlib.h>
#include <vlibmenu.h>
#include <stdio.h>
#include <conio.h>
#include <vlibkeys.h>
#include <vlibform.h>
#include <string.h>
#include <vlibmous.h>
#include <stdlib.h>

/* Declaración de constantes */
#define size 14
#define si 1
#define no 0

/* Declaración de variables */
int com,men,i;
int esckeys[]={ ESC,K_F2,0 };
char nom[35],dom[50];
int edad,peso,cama,pcama,fca,fcf,fra,frb,psa,psb;
int ta,tb;

/* Declaración de funciones */
void alta(void),baja(void),guarda(void),limpia(void),signos(void),global(void);
void param(void),guarpar(void),abreread(void),abrewrite(void),tolread(void);
void tolwrite(void),cara(void),imprime(void);
```

```
/* Estructura del menú principal */
```

```
V_MENU menu[]={
{
{"1.-DAR DE ALTA UN PACIENTE",NULL,1},
{"",NULL,-2},
{"2.-FIJAR INDICES DEL PACIENTE",NULL,3},
{"",NULL,-4},
{"3.-DAR DE BAJA UN PACIENTE",NULL,5},
{"",NULL,-6},
{"4.-MOSTRAR SIGNOS DE UN PACIENTE",NULL,7},
{"",NULL,-8},
{"5.-SUPERVISION GLOBAL DE PACIENTES",NULL,9},
{"",NULL,-10},
{"6.-IMPRESION DE SIGNOS DE UN PACIENTE",NULL,11},
{"",NULL,-12},
{"7.-SALIR",NULL,13},
{NULL}
};
```

```
/* Estructura de formato de altas */
```

```
struct v_form_def form[]={
{
8,25,VF_INT,2,"CAMA No",&cama,
10,25,VF_STRING,sizeof(nom),"NOMBRE",nom,
12,25,VF_STRING,sizeof(dom),"DOMICILIO",dom,
14,25,VF_INT,3,"EDAD",&edad,
16,25,VF_INT,3,"PESO",&peso,
0,0,VF_EOL
};
struct v_form_def form1[]={
{
8,25,VF_INT,2,"CAMA No",&pcama,
10,25,VF_INT,3,"FREC.CAR.ALTA",&fca,
10,50,VF_INT,3,"FREC.CAR.BAJA",&fcb,
12,25,VF_INT,3,"FREC.RESP.ALTA",&fra,
12,50,VF_INT,3,"FREC.RESP.BAJA",&frb,
14,25,VF_INT,3,"PRES.SANG.ALTA",&psa,
14,50,VF_INT,3,"PRES.SANG.BAJA",&psb,
16,25,VF_INT,3,"TEMP.ALTA",&ta,
16,50,VF_INT,3,"TEMP.BAJA",&tb,
0,0,VF_EOL
};
```

```
/* Estructura para guardar los datos en un archivo */
```

```
struct pac {  
    int gcama;  
    char gnom[35];  
    char gdom[50];  
    int gedad;  
    int gpeso;  
  
    }gpac_pac[size],spac[size];  
struct tol {  
    int gpcama;  
    int gfca;  
    int gfcg;  
    int gfra;  
    int gfrb;  
    int gpsa;  
    int gpsb;  
    int gta;  
    int gtb;  
    }gtol_tol[size];  
struct dat{  
    int camapac;  
    int impre;  
    }gdat_dat;
```

```
/* Estructura para seleccionar numero de cama */
```

```
V_MULTISELECT list[]=  
{  
    1,"CAMA No: 1",  
    0,"CAMA No: 2",  
    0,"CAMA No: 3",  
    0,"CAMA No: 4",  
    0,"CAMA No: 5",  
    0,"CAMA No: 6",  
    0,"CAMA No: 7",  
    0,"CAMA No: 8",  
    0,"CAMA No: 9",  
    0,"CAMA No:10",  
    0,"CAMA No:11",  
    0,"CAMA No:12",  
    0,"CAMA No:13",  
    0,"CAMA No:14",  
    NULL, };
```

```

V_MULTISELECT list1[]=
{
  1,"EPSON (DOT-MATRIX)",
  0,"HP LASERJET III",
  NULL,
};

/* programa principal */

main()
{
/*cara();*/
vInit();          /* inicializo vlib */

/* Fijo los colores para el menu, formas y cajas de dialogo */

vSetColor(0,
  V_LIGHT_GREEN|V_BLUE_BG,
  V_BLUE|V_GREEN_BG,
  V_BRIGHT_WHITE|V_BLUE_BG);
vSetColor(V_MENU_GRP,
  V_RED_BG|V_WHITE,
  V_GREEN_BG|V_BLUE,
  V_RED_BG|V_BRIGHT_WHITE);
vSetColor(V_FORM_GRP,
  V_BLUE_BG|V_WHITE,
  V_GREEN_BG|V_BLUE,
  V_BLUE_BG|V_BRIGHT_WHITE);
vSetColor(V_POPUP_GRP,
  V_RED_BG|V_WHITE,
  V_GREEN_BG|V_RED,
  V_RED_BG|V_BRIGHT_WHITE);

cara();          /* despliega carátula */
men=1;
while(men==1)
{
  clrscr();
  textbackground(BLUE);
  clrscr();
  vBorder();          /* dibuja borde */
  vWriteStr(2,30,V_BRIGHT,"OPCIONES DE TRABAJO"); /* escribe letrero */
  vFillAttr(2,28,2,50,V_REVERSE);
  vFillAttr(3,29,3,50,V_BLACK);
}
}

```

```

vFillAttr(2,50,3,50,V_BLACK);
com=vPopupMenuT(7,20,menu,1,"SELECCIONE OPCION");/*despliega menú */
switch(com)
{
    case 1:
        clrscr();
        alta(); /* alta de un paciente */
        men=1;
        break;
    case 3:
        clrscr();
        param(); /* fija parámetros de alarmas */
        men=1;
        break;
    case 5:
        clrscr();
        baja(); /* baja de un paciente */
        men=1;
        break;
    case 7:
        clrscr();
        signos(); /* signos de un paciente */
        men=1;
        break;
    case 9:
        clrscr();
        global(); /* supervisión global de pacientes */
        break;
    case 11:
        clrscr();
        imprime();
        men=1;
        break;
    case 13: clrscr();
        break;
    default: return(FALSE);
}
clrscr();
}
clrscr();
} /* fin del main */

```

/ Función para dar de alta un paciente */*

```
void alta(void)
{
    int dat,mas;
    mas=1;
    while(mas==1)
    {
        vBorder();
        vWriteStr(2,30,V_BRIGHT,"ALTA DE UN PACIENTE");
        vFillAttr(2,28,2,50,V_REVERSE);
        vFillAttr(3,29,3,50,V_BLACK);
        vFillAttr(2,50,3,50,V_BLACK);
        dat=vForm(form,esckey,"ESC = menu ,F2 = salvar"); /* despliega forma */

        switch(dat)
        {
            case 0: mas=0;
                    break;
            case 1: clrscr();
                    guarda();
                    vClear();
                    vFormClear(form); /* limpia forma */
                    mas=1;
                    break;
            default: return(FALSE);
        }
    }
    vFormClear(form);
}
```

/ Función para almacenar los datos en un archivo */*

```
void guarda (void)
{
    abreread();

    gpac_pac[cama-1].gcama=cama;
    strcpy(gpac_pac[cama-1].gnom,nom);
    strcpy(gpac_pac[cama-1].gdom,dom);
    gpac_pac[cama-1].gedad=edad;
    gpac_pac[cama-1].gpeso=peso;
```

```

        abrewrite());
    }
void abread(void)
{
    int i;
    FILE *fp;
    if((fp=fopen("internos","r"))==NULL) /* abre un archivo */
    {
        printf("no puedo abrir el archivo");
        return;
    }
    for(i=0;i<size;i++)
    {
        fread(&gpac_pac[i],sizeof(struct pac),1,fp); /* lee los datos */
    }
    fclose(fp); /* cierra el archivo */
}
void abrewrite(void)
{
    int i;
    FILE *fp;
    if((fp=fopen("internos","w"))==NULL)
    {
        puts("no puedo abrir el archivo\n");
        return;
    }

    for(i=0;i<size;i++)
    {
        fwrite(&gpac_pac[i],sizeof(struct pac),1,fp);
    }
    fclose(fp);
}

/* Función para introducir niveles de alarma */
void param(void)
{
    int par,mparam;
    mparam=1;
    while(mparam==1)
    {
        vBorder();
        vWriteStr(2,30,V_BRIGHT,"PARAMETROS DE PACIENTE");
        vFillAttr(2,28,2,56,V_REVERSE);
    }
}

```

```

vFillAttr(3,29,3,56,V_BLACK);
vFillAttr(2,56,3,56,V_BLACK);
par=vForm(form1,esckey,"ESC = menu ,F2 = salvar"); /* despliega forma1 */
switch(par)
{
    case 0: mparam=0;
            break;
    case 1: clrscr();
            guarpar();
            vClear();
            vFormClear(form1); /* limpia forma */
            mparam=1;
            break;
    default: return(FALSE);
}
}
vFormClear(form);
}
void guarpar(void)
{

    toread();

    gtol_tol[pcama-1].gpcama=pcama; /* guardo parametros */
    gtol_tol[pcama-1].gfca=fca;
    gtol_tol[pcama-1].gfcf=fcf;
    gtol_tol[pcama-1].gfra=fra;
    gtol_tol[pcama-1].gfrb=frb;
    gtol_tol[pcama-1].gpsa=psa;
    gtol_tol[pcama-1].gpsb=psb;
    gtol_tol[pcama-1].gta=ta;
    gtol_tol[pcama-1].gtb=tb;

    towrite();

}

void toread(void)
{
    int i;
    FILE *fc;
    if((fc=fopen("tol_par","r"))==NULL) /* abre un archivo */

```

```

    {
        printf("no puedo abrir el archivo");
        return;
    }
    for(i=0;i<size;i++)
    {
        fread(&gtol_tol[i],sizeof(struct tol),1,fc); /* lee los datos */
    }
    fclose(fc); /* cierra el archivo */
}

void tolwrite(void)
{
    int i;
    FILE *fc;
    if((fc=fopen("tol_par","w"))==NULL)
    {
        puts("no puedo abrir el archivo\n");
        return;
    }

    for(i=0;i<size;i++)
    {
        fwrite(&gtol_tol[i],sizeof(struct tol),1,fc);
    }
    fclose(fc);
}

/* Función para dar de baja un paciente */

void baja (void)
{
    int cual,wb,i,seguro,noseg;
    noseg=1;
    while(noseg==1)
    {
        vBorder();
        vWriteStr(2,30,V_BRIGHT,"BAJA DE UN PACIENTE");
        vFillAttr(2,28,2,50,V_REVERSE);
        vFillAttr(3,29,3,50,V_BLACK);
        vFillAttr(2,50,3,50,V_BLACK);
        cual=vPopMultiselect(6,28,list,"Seleccione No. de cama",6); /* despliega caja de dialogo */
        if(cual==0){noseg=1;break;}
    }
}

```

```

wb=vWindowAdd(4,10,16,70);      /* crea una ventana */
vWindowGoto(wb);
vBorder2();                      /* dibuja borde de la nueva ventana */
vFillAttr(1,1,11,59,V_LIGHT_GREY);

abreread();

vPut(2,4,V_REVERSE,"CAMA No:%d\n",gpac_pac[cual-1].gcama); /* despliega
datos */
vPut(4,4,V_REVERSE,"NOMBRE:%s\n",gpac_pac[cual-1].gnom);
vPut(6,4,V_REVERSE,"DOMICILIO:%s\n",gpac_pac[cual-1].gdom);
vPut(8,4,V_REVERSE,"EDAD:%d\n",gpac_pac[cual-1].gedad);
vPut(10,4,V_REVERSE,"PESO:%d\n",gpac_pac[cual-1].gpeso);
seguro=vPopYesNo(18,24,"Esta usted seguro?",1);
switch(seguro)
{
    case 0: noseg=0;
            vWindowDelete(wb);
            break;
    case 1: noseg=1;
            vClearAll();
            vWindowDelete(wb);
            break;
    case 2: limpia();
            noseg=0;
            vWindowDelete(wb);
            break;
}
}
}

```

/* Función que borra del archivo al paciente */

```

void limpia(void)
{
int cual,i;
char bnom[2],bdom[2];
gpac_pac[cual-1].gcama=0;
strcpy(gpac_pac[cual-1].gnom,bnom);
strcpy(gpac_pac[cual-1].gdom,bdom);
gpac_pac[cual-1].gedad=0;
gpac_pac[cual-1].gpeso=0;

abrewrte();
tolread();

```

```

    gtol_tol[cual-1].gpcama=0; /* guardo parametros */
    gtol_tol[cual-1].gfca=0;
    gtol_tol[cual-1].gfcab=0;
    gtol_tol[cual-1].gfra=0;
    gtol_tol[cual-1].gfrb=0;
    gtol_tol[cual-1].gpsa=0;
    gtol_tol[cual-1].gpsb=0;
    gtol_tol[cual-1].gta=0;
    gtol_tol[cual-1].gtb=0;
    tolwrite();
}

    /* Función que muestra los signos de un paciente */

void signos(void)
{
    int sistem;
    sistem=system("mbmrtc.exe"); /* sale al sistema operativo y ejecuta */
    if(sistem==-1){ printf("error");}
}

    /* Función que muestra los signos de los pacientes */

void global(void)
{
    int sistem1;
    sistem1=system("sg.exe");
    if(sistem1==-1){printf("error");}
}

    /* Función que despliega la carátula */

void cara(void)
{
    int sistem2;
    sistem2=system("porta.exe");
    if(sistem2==-1){printf("error");}
}

    /* Función que imprime los datos del paciente */

void imprime(void)
{
    int cualimp,cualcama,i,sistem3;
    FILE *fd;

```

```

vBorder();
vWriteStr(2,30,V_BRIGHT,"IMPRESION DE SIGNOS");
vFillAttr(2,28,2,50,V_REVERSE);
vFillAttr(3,29,3,50,V_BLACK);
vFillAttr(2,50,3,50,V_BLACK);
cualimp=vPopMultiselect(10,25,list1,"Seleccione tipo de impresora",2);
cualcama=vPopMultiselect(10,25,list,"Seleccione cama a imprimir",6);

gdat_dat.impre=cualimp;
gdat_dat.camapac=cualcama;
if((fd=fopen("gdat_dat","w"))==NULL)
{
puts("no puedo abrir el archivo\n");
return;
}

fwrite(&gdat_dat,sizeof(struct tol),1,fd);
fclose(fd);

sistem3=system("impredat.exe");
if(sistem3!=-1){printf("error");}
}

```

Programa para graficación de signos vitales.

```

/* Archivos de cabecera */
#include <stdio.h>
#include <dos.h>
#include <graphics.h>
#include <conio.h>
#include "c:\en\lcl\graf.c"
#include "c:\en\lcl\gprintf.c"

/* Declaración de constantes */
#define size 14
#define LONG 600
#define INI_T 0x10
#define EOT 0x04
#define CLAVE1 0x01
#define CLAVE2 0x02
#define CLAVE3 0x03
#define CLAVE4 0x14
#define CLAVE5 0x05
#define CLAVE6 0x06

```

```
#define CLAVE7 0x07
#define CLAVE8 0x08
#define CLAVE9 0x09
#define CLAVE10 0x0a
#define CLAVE11 0x0b
#define CLAVE12 0x0c
#define CLAVE13 0x0d
#define CLAVE14 0x0e
```

```
/* Declaración de variables */
```

```
float lem,btem;
```

```
unsigned short int frecc,freccr,press,presd,cs,CLAVE,CHK;
unsigned short int bfrecc,bfreccr,bpress,bpresd;
```

```
int graphdr,graphmo,i,nucam,ca,clavec;
int xb1,xb2,x1a,x2a,x3a,x4a,x5a,x6a,x7a,xb;
int yb1,yb2,yb3,yb4,yb5,yb6,yb7,y1a,y2a,y3a,
    y4a,y5a,y6a,y7a,yb;
```

```
unsigned short int ecgp[LONG],ecgb[LONG],ecgp1[LONG],ecgb1[LONG];
unsigned short int ecgp2[LONG],ecgb2[LONG],ecgp3[LONG],ecgb3[LONG];
unsigned short int ecgp4[LONG],ecgb4[LONG],ecgp5[LONG],ecgb5[LONG];
unsigned short int ecgp6[LONG],ecgb6[LONG],ecgp7[LONG],ecgb7[LONG];
unsigned short int ecgp8[LONG],ecgb8[LONG],ecgp9[LONG],ecgb9[LONG];
unsigned short int ecgp10[LONG],ecgb10[LONG],ecgp11[LONG],ecgb11[LONG];
unsigned short int ecgp12[LONG],ecgb12[LONG],ecgp13[LONG],ecgb13[LONG];
unsigned short int ecgp14[LONG],ecgb14[LONG];
```

```
/* Declaración de funciones */
```

```
void abrear(void);
void inicio(void);
void proto(void);
void mues();
void param(void),mparam(void),alarma(void);
void termina(void);
void pausa(void);
void indivi(void),protoin(void),paramin(void);
```

```
FILE *fp;
FILE *fc;
```

```
/* Declaración de estructuras */
```

```
struct pac{
    int gcama;
```

```

char gnom[35];
char gdom[50];
int edad;
int gpeso;
}pac_pac[size];

struct tol{
    int gpcama;
    int gfca;
    int gfcb;
    int gfra;
    int gfrb;
    int gpsa; /* presion sistolica */
    int gpsb; /* presion diastolica */
    int gta;
    int gtb;
    }gtol_tol[size];

/* Programa principal */

main()
{
    abrear(); /* abre archivo de pacientes y parametros */

    graphdr=DETECT; /* inicializa modo gráfico*/
    initgraph(&graphdr,&graphmo,"c:\\lc");

    pcx("b:ecgdisp4.pcx"); /* dibujo de fondo */

    inicio(); /* inicializa puerto serie */
    proto(); /* envia protocolo */

    while(!kbhit()) /*mientras no se pida cama pide muestra y grafica*/
    {
        for(i=0;i<LONG;i++)
        {
            mues(i);
        }
        param(); /* activa alarmas */
    }

    termina(); /* envia el comando de fin de transmisión */

    pausa();
    scanf("%d",&ca); /* lee el numero de cama y lo imprime */
    setColor(BLACK);
}

```

```
settextstyle(DEFAULT_FONT,HORIZ_DIR,1);  
gprintf(338,462,"%d",ca);
```

```
switch(ca) /* envia la clave de la cama deseada */  
{  
    case 1: CLAVE=CLAVE1;  
            clavec=1;  
            CHK=0x1f;  
            indivi(); /* grafica un paciente */  
            break;  
    case 2: CLAVE=CLAVE2;  
            clavec=2;  
            CHK=0x2f;  
            indivi();  
            break;  
    case 3: CLAVE=CLAVE3;  
            clavec=3;  
            CHK=0x3f;  
            indivi();  
            break;  
    case 4: CLAVE=CLAVE4;  
            clavec=4;  
            CHK=0x4f;  
            indivi();  
            break;  
    case 5: CLAVE=CLAVE5;  
            clavec=5;  
            CHK=0x5f;  
            indivi();  
            break;  
    case 6: CLAVE=CLAVE6;  
            clavec=6;  
            CHK=0x6f;  
            indivi();  
            break;  
    case 7: CLAVE=CLAVE7;  
            clavec=7;  
            CHK=0x7f;  
            indivi();  
            break;  
    case 8: CLAVE=CLAVE8;  
            clavec=8;  
            CHK=0x8f;  
            indivi();  
            break;
```

```

    case 9: CLAVE=CLAVE9;
            clavec=9;
            CHK=0x9f;
            indivi();
            break;
    case 10: CLAVE=CLAVE10;
            clavec=10;
            CHK=0xaf;
            indivi();
            break;
    case 11: CLAVE=CLAVE11;
            clavec=11;
            CHK=0xbf;
            indivi();
            break;
    case 12: CLAVE=CLAVE12;
            clavec=12;
            CHK=0xcf;
            indivi();
            break;
    case 13: CLAVE=CLAVE13;
            clavec=13;
            CHK=0xdf;
            indivi();
            break;
    case 14: CLAVE=CLAVE14;
            clavec=14;
            CHK=0xef;
            indivi();
            break;
    default : break;
}

closegraph(); /* cierra el modo gráfico */

} /* fin del main */

/* Función que abre el archivo de datos de pacientes */

void abrear(void)
{
    if((fp=fopen("internos","r"))==NULL)
    {
        printf("no puedo abrir el archivo");
        return;
    }
}

```

```

    }
    for(i=0;i<size;i++)
    {
        fread(&gpac_pac[i],sizeof(struct pac),1,fp);
    }
    fclose(fp);

    if((fc=fopen("tol_par","r"))==NULL)
    {
        printf("no puedo abrir el archivo");
        return;
    }
    for(i=0;i<size;i++)
    {
        fread(&gtol_tol[i],sizeof(struct tol),1,fc);
    }
    fclose(fc);
}

```

/ función para inicializar el puerto serie */*

```

void inicio(void)
{
    outp(0x3fb,0x80); /*direcciona line_control para baudaje*/
    outp(0x3f8,0x0c); /*LSB para 9600 Bauds*/
    outp(0x3f9,0x00); /*MSB para 9600 Bauds*/
    outp(0x3fb,0x03); /*inicializa el line_control en paridad non,
        1 bit stop, 8 bits de datos*/
    outp(0x3fc,0x0b); /*inicializa control de modem para interrupciones*/
    outp(0x3f9,0x0f); /*habilita todas las clases de interrupciones*/
}

```

/ función que envia el protocolo para todas las camas */*

```

void proto(void)
{
    if(gpac_pac[0].gcama==1) /* envia el protocolo a las camas */
    { /* que estan dadas de alta */
        outp(0x3f8,CLAVE1);
        check_rd_full();
        outp(0x3f8,INI_T);
        check_rd_full();
    }
    if(gpac_pac[1].gcama==2)

```

```
{
  outp(0x3f8,CLAVE2);
  check_rd_full();
  outp(0x3f8,INI_T);
  check_rd_full();
}
if(gpac_pac[2].gcama==3)
{
  outp(0x3f8,CLAVE3);
  check_rd_full();
  outp(0x3f8,INI_T);
  check_rd_full();
}
if(gpac_pac[3].gcama==4)
{
  outp(0x3f8,CLAVE4);
  check_rd_full();
  outp(0x3f8,INI_T);
  check_rd_full();
}
if(gpac_pac[4].gcama==5)
{
  outp(0x3f8,CLAVE5);
  check_rd_full();
  outp(0x3f8,INI_T);
  check_rd_full();
}
if(gpac_pac[5].gcama==6)
{
  outp(0x3f8,CLAVE6);
  check_rd_full();
  outp(0x3f8,INI_T);
  check_rd_full();
}
if(gpac_pac[6].gcama==7)
{
  outp(0x3f8,CLAVE7);
  check_rd_full();
  outp(0x3f8,INI_T);
  check_rd_full();
}
if(gpac_pac[7].gcama==8)
{
  outp(0x3f8,CLAVE8);
  check_rd_full();
}
```

```

outp(0x3f8,INI_T);
check_rd_full();
}
if(gpac_pac[8].gcama==9)
{
outp(0x3f8,CLAVE9);
check_rd_full();
outp(0x3f8,INI_T);
check_rd_full();
}
if(gpac_pac[9].gcama==10)
{
outp(0x3f8,CLAVE10);
check_rd_full();
outp(0x3f8,INI_T);
check_rd_full();
}
if(gpac_pac[10].gcama==11)
{
outp(0x3f8,CLAVE11);
check_rd_full();
outp(0x3f8,INI_T);
check_rd_full();
}
if(gpac_pac[11].gcama==12)
{
outp(0x3f8,CLAVE12);
check_rd_full();
outp(0x3f8,INI_T);
check_rd_full();
}
if(gpac_pac[12].gcama==13)
{
outp(0x3f8,CLAVE13);
check_rd_full();
outp(0x3f8,INI_T);
check_rd_full();
}
if(gpac_pac[13].gcama==14)
{
outp(0x3f8,CLAVE14);
check_rd_full();
outp(0x3f8,INI_T);
check_rd_full();
} }

```

/* función que toma las muestras de ECG de todas las camas */

```
void mues(int k)
{
    int j;
    xb1=12;xb2=333;
    yb1=102;yb2=159;yb3=216;yb4=273;yb5=330;yb6=387;yb7=445;
    j=k/4;

    if(gpac_pac[0].gcama==1)
    {
        outp(0x3f8,0x1f); /* envia chk */
        check_rd_full(); /* chequea si el registro de llegada */
        ecgp1[k]=inp(0x3f8); /* tiene algo y lee el valor */
        putpixel(xb1+j,yb1-(ecgb1[k]/7),BLACK);
        putpixel(xb1+j,yb1-(ecgp1[k]/7),GREEN);
        ecgb1[k]=ecgp1[k];
    }
    if(gpac_pac[1].gcama==2)
    {
        outp(0x3f8,0x2f);
        check_rd_full();
        ecgp2[k]=inp(0x3f8);
        putpixel(xb2+j,yb1-(ecgb2[k]/7),BLACK);
        putpixel(xb2+j,yb1-(ecgp2[k]/7),GREEN);
        ecgb2[k]=ecgp2[k];
    }
    if(gpac_pac[2].gcama==3)
    {
        outp(0x3f8,0x3f);
        check_rd_full();
        ecgp3[k]=inp(0x3f8);
        putpixel(xb1+j,yb2-(ecgb3[k]/7),BLACK);
        putpixel(xb1+j,yb2-(ecgp3[k]/7),GREEN);
        ecgb3[k]=ecgp3[k];
    }
    if(gpac_pac[3].gcama==4)
    {
        outp(0x3f8,0x4f);
        check_rd_full();
        ecgp4[k]=inp(0x3f8);
        putpixel(xb2+j,yb2-(ecgb4[k]/7),BLACK);
        putpixel(xb2+j,yb2-(ecgp4[k]/7),GREEN);
        ecgb4[k]=ecgp4[k];
    }
}
```

```

if(gpac_pac[4].gcama==5)
{
    outp(0x3f8,0x5f);
    check_rd_full();
    ecgp5[k]=inp(0x3f8);
    putpixel(xb1+j,yb3-(ecgb5[k]/7),BLACK);
    putpixel(xb1+j,yb3-(ecgp5[k]/7),GREEN);
    ecgb5[k]=ecgp5[k];
}
if(gpac_pac[5].gcama==6)
{
    outp(0x3f8,0x6f);
    check_rd_full();
    ecgp6[k]=inp(0x3f8);
    putpixel(xb2+j,yb3-(ecgb6[k]/7),BLACK);
    putpixel(xb2+j,yb3-(ecgp6[k]/7),GREEN);
    ecgb6[k]=ecgp6[k];
}
if(gpac_pac[6].gcama==7)
{
    outp(0x3f8,0x7f);
    check_rd_full();
    ecgp7[k]=inp(0x3f8);
    putpixel(xb1+j,yb4-(ecgb7[k]/7),BLACK);
    putpixel(xb1+j,yb4-(ecgp7[k]/7),GREEN);
    ecgb7[k]=ecgp7[k];
}
if(gpac_pac[7].gcama==8)
{
    outp(0x3f8,0x8f);
    check_rd_full();
    ecgp8[k]=inp(0x3f8);
    putpixel(xb2+j,yb4-(ecgb8[k]/7),BLACK);
    putpixel(xb2+j,yb4-(ecgp8[k]/7),GREEN);
    ecgb8[k]=ecgp8[k];
}
if(gpac_pac[8].gcama==9)
{
    outp(0x3f8,0x9f);
    check_rd_full();
    ecgp9[k]=inp(0x3f8);
    putpixel(xb1+j,yb5-(ecgb9[k]/7),BLACK);
    putpixel(xb1+j,yb5-(ecgp9[k]/7),GREEN);
    ecgb9[k]=ecgp9[k];
}

```

```

if(gpac_pac[9].gcama==10)
{
    outp(0x3f8,0xaf);
    check_rd_full();
    ecgp10[k]=inp(0x3f8);
    putpixel(xb2+j,yb5-(ecgb10[k]/7),BLACK);
    putpixel(xb2+j,yb5-(ecgp10[k]/7),GREEN);
    ecgb10[k]=ecgp10[k];
}
if(gpac_pac[10].gcama==11)
{
    outp(0x3f8,0xbf);
    check_rd_full();
    ecgp11[k]=inp(0x3f8);
    putpixel(xb1+j,yb6-(ecgb11[k]/7),BLACK);
    putpixel(xb1+j,yb6-(ecgp11[k]/7),GREEN);
    ecgb11[k]=ecgp11[k];
}
if(gpac_pac[11].gcama==12)
{
    outp(0x3f8,0xcf);
    check_rd_full();
    ecgp12[k]=inp(0x3f8);
    putpixel(xb2+j,yb6-(ecgb12[k]/7),BLACK);
    putpixel(xb2+j,yb6-(ecgp12[k]/7),GREEN);
    ecgb12[k]=ecgp12[k];
}
if(gpac_pac[12].gcama==13)
{
    outp(0x3f8,0xdf);
    check_rd_full();
    ecgp13[k]=inp(0x3f8);
    putpixel(xb1+j,yb7-(ecgb13[k]/7),BLACK);
    putpixel(xb1+j,yb7-(ecgp13[k]/7),GREEN);
    ecgb13[k]=ecgp13[k];
}
if(gpac_pac[13].gcama==14)
{
    outp(0x3f8,0xef);
    check_rd_full();
    ecgp14[k]=inp(0x3f8);
    putpixel(xb2+j,yb7-(ecgb14[k]/7),BLACK);
    putpixel(xb2+j,yb7-(ecgp14[k]/7),GREEN);
    ecgb14[k]=ecgp14[k];
}

```

```
}
```

/ Función que pide parámetros de todas las camas */*

```
void param(void)
```

```
{
```

```
    if(gpac_pac[0].gcama==1)
```

```
    {
```

```
        mparam();
```

```
        nucam=0;
```

```
        x6a=244;y6a=97;x7a=284;y7a=97;x2a=203;y2a=79;
```

```
        x3a=244;y3a=79;x5a=203;y5a=97;
```

```
        alarma();
```

```
    }
```

```
    if(gpac_pac[1].gcama==2)
```

```
    {
```

```
        mparam();
```

```
        nucam=1;
```

```
        x6a=566;y6a=97;x7a=606;y7a=97;x2a=524;y2a=79;
```

```
        x3a=566;y3a=79;x5a=524;y5a=97;
```

```
        alarma();
```

```
    }
```

```
    if(gpac_pac[2].gcama==3)
```

```
    {
```

```
        mparam();
```

```
        nucam=2;
```

```
        x6a=244;y6a=155;x7a=284;y7a=155;x2a=203;y2a=137;
```

```
        x3a=244;y3a=137;x5a=203;y5a=155;
```

```
        alarma();
```

```
    }
```

```
    if(gpac_pac[3].gcama==4)
```

```
    {
```

```
        mparam();
```

```
        nucam=3;
```

```
        x6a=566;y6a=155;x7a=606;y7a=155;x2a=524;y2a=137;
```

```
        x3a=566;y3a=137;x5a=524;y5a=155;
```

```
        alarma();
```

```
    }
```

```
    if(gpac_pac[4].gcama==5)
```

```
    {
```

```
        mparam();
```

```
        nucam=4;
```

```
        x6a=244;y6a=213;x7a=284;y7a=213;x2a=203;y2a=193;
```

```

        x3a=244;y3a=193;x5a=203;y5a=213;
        alarma();
    }
    if(gpac_pac[5].gcama==6)
    {
        mparam();
        nucam=5;
        x6a=566;y6a=213;x7a=606;y7a=213;x2a=524;y2a=193;
        x3a=566;y3a=193;x5a=524;y5a=213;
        alarma();
    }
    if(gpac_pac[6].gcama==7)
    {
        mparam();
        nucam=6;
        x6a=244;y6a=270;x7a=284;y7a=270;x2a=203;y2a=250;
        x3a=244;y3a=250;x5a=203;y5a=270;
        alarma();
    }
    if(gpac_pac[7].gcama==8)
    {
        mparam();
        nucam=7;
        x6a=566;y6a=270;x7a=606;y7a=270;x2a=524;y2a=250;
        x3a=566;y3a=250;x5a=524;y5a=270;
        alarma();
    }
    if(gpac_pac[8].gcama==9)
    {
        mparam();
        nucam=8;
        x6a=244;y6a=325;x7a=284;y7a=325;x2a=203;y2a=307;
        x3a=244;y3a=307;x5a=203;y5a=325;
        alarma();
    }
    if(gpac_pac[9].gcama==10)
    {
        mparam();
        nucam=9;
        x6a=566;y6a=325;x7a=606;y7a=325;x2a=524;y2a=307;
        x3a=566;y3a=307;x5a=524;y5a=325;
        alarma();
    }
    if(gpac_pac[10].gcama==11)
    {

```

```

    mparam();
    nucam=10;
    x6a=244;y6a=383;x7a=284;y7a=383;x2a=203;y2a=365;
    x3a=244;y3a=365;x5a=203;y5a=383;
    alarma();
}
if(gpac_pac[11].gcama==12)
{
    mparam();
    nucam=11;
    x6a=566;y6a=383;x7a=606;y7a=383;x2a=524;y2a=365;
    x3a=566;y3a=365;x5a=524;y5a=383;
    alarma();
}
if(gpac_pac[12].gcama==13)
{
    mparam();
    nucam=12;
    x6a=244;y6a=440;x7a=284;y7a=440;x2a=203;y2a=420;
    x3a=244;y3a=420;x5a=203;y5a=440;
    alarma();
}
if(gpac_pac[13].gcama==14)
{
    mparam();
    nucam=13;
    x6a=566;y6a=440;x7a=606;y7a=440;x2a=524;y2a=420;
    x3a=566;y3a=420;x5a=524;y5a=440;
    alarma();
}
}
void mparam(void)
{
    unsigned short int tempe;
    outp(0x3f8,0x26);
    check_rd_full();
    tempe=inp(0x3f8);
    tem=(tempe*0.195312);

    outp(0x3f8,0x27);
    check_rd_full();
    frecc=inp(0x3f8);

    outp(0x3f8,0x28);
    check_rd_full();

```

```

    frecr=inp(0x3f8);

    outp(0x3f8,0x29);
    check_rd_full();
    cs=inp(0x3f8);

    outp(0x3f8,0x30);
    check_rd_full();
    press=inp(0x3f8);

    outp(0x3f8,0x31);
    check_rd_full();
    presd=inp(0x3f8);
}

```

/ función que envía un EOT para indicar que termino la adquisición */*

```

void termina(void)
{
    for(i=0;i<10;i++)
    {
        outp(0x3f8,EOT);
    }
}

```

/ función que despliega un solo paciente */*

```

void indivi(void)
{
    int i;
    int x2a,x3a,x5a,x6a,x7a,y2a,y3a,y5a,y6a,y7a;
    pcx("b:ecgdisp5.pcx");
    setcolor(BLACK);
    settextstyle(DEFAULT_FONT,HORIZ_DIR,1);
    gprintf(110,375,"%d",gpac_pac[clavec-1].gcama);
    gprintf(110,420,"%s",gpac_pac[clavec-1].gnom);
    protoin();
    xb=21;
    yb=208;

    while(!kbhit())
    {
        for(i=0;i<599;i++)
        {

```

```

    outp(0x3f8,CHK);
    check_rd_full();
    ecgp[i]=inp(0x3f8);
    putpixel(xb+i,yb-(ecgb[i]/2),BLACK);
    putpixel(xb+i,yb-(ecgp[i]/2),GREEN);
    ecgb[i]=ecgp[i];
  }
  paramin();
}
termina();
pausa();
}

```

/ función que envía el protocolo a una sola cama */*

```

void protoin(void)
{
  outp(0x3f8,CLAVE);
  check_rd_full();
  outp(0x3f8,INI_T);
  check_rd_full();
}

```

/ Función que pide parámetros */*

```

void paramin(void)
{
  unsigned short int tempe;
  outp(0x3f8,0x26);
  check_rd_full();
  tempe=inp(0x3f8);
  tem=(tempe*0.195312);
  outp(0x3f8,0x27);
  check_rd_full();
  frecc=inp(0x3f8);
  outp(0x3f8,0x28);
  check_rd_full();
  frecr=inp(0x3f8);
  outp(0x3f8,0x29);
  check_rd_full();
  cs=inp(0x3f8);
  outp(0x3f8,0x30);
  check_rd_full();
  press=inp(0x3f8);
}

```

```

    outp(0x3f8,0x31);
    check_rd_full();
    presd=inp(0x3f8);
    setcolor(LIGHTGRAY);
    settxtstyle(DEFAULT_FONT,HORIZ_DIR,1);
    gprintf(268,308,"%d",bfreccr);
    gprintf(268,252,"%d",bfrecc);
    gprintf(117,252,"%d",bpress);
    gprintf(117,308,"%d",bpresd);
    gprintf(415,252,"%-2.1f",btem);
    setcolor(BLACK);
    settxtstyle(DEFAULT_FONT,HORIZ_DIR,1);
    gprintf(268,308,"%d",freccr);
    gprintf(268,252,"%d",frecc);
    gprintf(117,252,"%d",press);
    gprintf(117,308,"%d",presd);
    gprintf(415,252,"%-2.1f",tem);
    nucam=clavec-1;
    bfrecc=frecc;bpress=press;btem=tem;
    bfreccr=freccr;bpresd=presd;
    x2a=600;y2a=325;x3a=600;y3a=300;x5a=600;y5a=380;
    x6a=600;y6a=355;x7a=600;y7a=410;
    alarma();
}

```

/ función que detecta si el registro de llegada tiene algo */*

```

check_rd_full()
{
    for(;;)
    {
        if( inp(0x3fd) & 0x01 == 0x01) return;
        if(kbhil()) return;
    }
}

```

/ función que iniciliza el !kbhil() */*

```

void pausa(void)
{
    int c;
    c=getch();
    if(0==c)
    {

```

```

c=getch();
}
}

```

/ función que detecta datos anormales y enciende alarmas */*

```

void alarma(void)

```

```

{
    if(frecc>gtol_tol[nucam].gfca || frecc<gtol_tol[nucam].gfcf)
    {
        setfillstyle(SOLID_FILL,RED);
        floodfill(x6a,y6a,BLACK);
        sound(300);delay(100);nosound();
    }
    else setfillstyle(SOLID_FILL,LIGHTGRAY);
        floodfill(x6a,y6a,BLACK);
    if(frecc>gtol_tol[nucam].gfra || frecc<gtol_tol[nucam].gfrb)
    {
        setfillstyle(SOLID_FILL,RED);
        floodfill(x7a,y7a,BLACK);
        sound(300);delay(100);nosound();
    }
    else setfillstyle(SOLID_FILL,LIGHTGRAY);
        floodfill(x7a,y7a,BLACK);
    if(press>gtol_tol[nucam].gpsa)
    {
        setfillstyle(SOLID_FILL,RED);
        floodfill(x2a,y2a,BLACK);
        sound(300);delay(100);nosound();
    }
    else setfillstyle(SOLID_FILL,LIGHTGRAY);
        floodfill(x2a,y2a,BLACK);
    if(presd<gtol_tol[nucam].gpsb)
    {
        setfillstyle(SOLID_FILL,RED);
        floodfill(x3a,y3a,BLACK);
        sound(300);delay(100);nosound();
    }
    else setfillstyle(SOLID_FILL,LIGHTGRAY);
        floodfill(x3a,y3a,BLACK);
    if(tem>gtol_tol[nucam].gta || tem<gtol_tol[nucam].gtb)
    { setfillstyle(SOLID_FILL,RED);
        floodfill(x5a,y5a,BLACK);
        sound(300);delay(100);nosound();
    }
}

```

```

        else setfillstyle(SOLID_FILL,LIGHTGRAY);
        floodfill(x5a,y5a,BLACK);
    }
    U

```

Programa para la impresión de signos vitales.

```

        /* Archivos de cabecera */
#include <stdio.h>
#include <graphics.h>
#include "c:\en\c\grafpcx.c"
#include "c:\en\c\gprintf.c"

        /* Declaración de constantes */
#define size 14
#define ACKN 0x06
#define EOT 0x04
#define LONG 600
#define INI_T 0x10
#define CLAVE1 0x01
#define CLAVE2 0x02
#define CLAVE3 0x03
#define CLAVE4 0x14
#define CLAVE5 0x05
#define CLAVE6 0x16
#define CLAVE7 0x07
#define CLAVE8 0x08
#define CLAVE9 0x09
#define CLAVE10 0x0a
#define CLAVE11 0x0b
#define CLAVE12 0x0c
#define CLAVE13 0x0d
#define CLAVE14 0x0e

        /* Declaración de variables */
float tem,temper;
int graphdr,graphmo,i,cama,tipoimp,xb,yb,frecc,freccs,freccr,press,presd,cs;
unsigned short int ACK,CLAVE,CHK,ack,clav;
unsigned short int ecgp[LONG],ecgb[LONG];

int format(double posicion)
{
    int width=6;
    if(posicion<1000.0) width--;
}

```

```
if(posicion<100.0) width--;  
if(posicion<10.0) width--;  
return(width);  
}
```

/ Declaración de funciones */*

```
void mues(void),epson(void),laser(void);  
void inicio(void);  
void param(void);  
void proto(void);  
FILE*fd;  
FILE*fp;
```

/ Declaración de estructuras */*

```
struct dat{  
    int camapac;  
    int impre;  
}gdat_dat;  
  
struct pac{  
    int gcama;  
    char gnom[35];  
    char gdom[50];  
    int gedad;  
    int gpeso;  
}gpac_pac[size];
```

/ Programa principal */*

```
main()  
{  
    graphdr=DETECT;  
    initgraph(&graphdr,&graphmo,"c:\\tc");  
  
    if((fd=fopen("gdat_dat","r"))==NULL)  
    {  
        puts("no puedo abrir el archivo\n");  
        return;  
    }  
  
    fread(&gdat_dat,sizeof(struct dat),1,fd);  
    fclose(fd);  
    if((fp=fopen("internos","r"))==NULL)  
    {
```

```

printf("no puedo abrir el archivo");
return;
}
for(i=0;i<size;i++)
{
    fread(&gpac_pac[i],sizeof(struct pac),1,fp);
}
fclose(fp);

inicio();
cama=gdat_dat.camapac;
switch(cama)
{
    case 0: break;
    case 1: CLAVE=CLAVE1;CHK=0x1f;mues();
        tipoimp=gdat_dat.impre;
        switch(tipoimp)
        {
            case 0: break;
            case 1: epson();
                break;
            case 2: laser();
                break;
        }
        break;
    case 2: CLAVE=CLAVE2;CHK=0x2f;mues();
        tipoimp=gdat_dat.impre;
        switch(tipoimp)
        {
            case 0: break;
            case 1: epson();
                break;
            case 2: laser();
                break;
        }
        break;
    case 3: CLAVE=CLAVE3;CHK=0x3f;mues();
        tipoimp=gdat_dat.impre;
        switch(tipoimp)
        {
            case 0: break;
            case 1: epson();
                break;
            case 2: laser();
                break;
        }
}

```

```

        }

    break;
case 4: CLAVE=CLAVE4;CHK=0x4f;mues();
    tipoimp=gdat_dat.impre;
    switch(tipoimp)
    {
        case 0: break;
        case 1: Epson();
            break;
        case 2: laser();
            break;
    }

    break;
case 5: CLAVE=CLAVE5;CHK=0x5f;mues();
    tipoimp=gdat_dat.impre;
    switch(tipoimp)
    {
        case 0: break;
        case 1: Epson();
            break;
        case 2: laser();
            break;
    }

    break;
case 6: CLAVE=CLAVE6;CHK=0x6f;mues();
    tipoimp=gdat_dat.impre;
    switch(tipoimp)
    {
        case 0: break;
        case 1: Epson();
            break;
        case 2: laser();
            break;
    }

    break;
case 7: CLAVE=CLAVE7;CHK=0x7f;mues();
    tipoimp=gdat_dat.impre;
    switch(tipoimp)
    {
        case 0: break;
        case 1: Epson();
            break;
        case 2: laser();
            break;
    }

```

```

        }
        break;
case 8: CLAVE=CLAVE8;CHK=0x8f;mues();
        tipoimp=gdat_dat.impre;
        switch(tipoimp)
        {
            case 0: break;
            case 1: Epson();
                    break;
            case 2: laser();
                    break;
        }
        break;
case 9: CLAVE=CLAVE9;CHK=0x9f;mues();
        tipoimp=gdat_dat.impre;
        switch(tipoimp)
        {
            case 0: break;
            case 1: Epson();
                    break;
            case 2: laser();
                    break;
        }
        break;
case 10: CLAVE=CLAVE10;CHK=0xaf;mues();
        tipoimp=gdat_dat.impre;
        switch(tipoimp)
        {
            case 0: break;
            case 1: Epson();
                    break;
            case 2: laser();
                    break;
        }
        break;
case 11: CLAVE=CLAVE11;CHK=0xbf;mues();
        tipoimp=gdat_dat.impre;
        switch(tipoimp)
        {
            case 0: break;
            case 1: Epson();
                    break;
            case 2: laser();
                    break;
        }

```

```

        break;
    case 12: CLAVE=CLAVE12;CHK=0xcf;mues();
        tipoimp=gdat_dat.impre;
        switch(tipoimp)
        {
            case 0: break;
            case 1: Epson();
                break;
            case 2: Laser();
                break;
        }
        break;
    case 13: CLAVE=CLAVE13;CHK=0xdf;mues();
        tipoimp=gdat_dat.impre;
        switch(tipoimp)
        {
            case 0: break;
            case 1: Epson();
                break;
            case 2: Laser();
                break;
        }
        break;
    case 14: CLAVE=CLAVE14;CHK=0xef;mues();
        tipoimp=gdat_dat.impre;
        switch(tipoimp)
        {
            case 0: break;
            case 1: Epson();
                break;
            case 2: Laser();
                break;
        }
        break;
    }
}

closegraph();
}

void inicio(void)
{
    /*funcion para inicializar el puerto serie*/
    outp(0x3fb,0x80);/*direcciona line_control para baudaje*/
    outp(0x3f8,0x0c);/*LSB para 9600 Bauds*/
}

```

```

outp(0x3f9,0x00);/*MSB para 9600 Bauds*/
outp(0x3fb,0x03);/*inicializa el line_control en paridad non,
                1 bit stop, 8 bits de datos*/
outp(0x3fc,0x0b);/*inicializa contol de modem para interrupciones*/
outp(0x3f9,0x0f);/*habilita todas las clases de interrupciones*/
}

/* Función que solicita signos vitales y los grafica */
void mues(void)
{
    int i,xb,yb;
    xb=21;yb=208;

    setcolor(WHITE);
    setlinestyle(SOLID_LINE,0,NORM_WIDTH);
    rectangle(0,0,639,479);
    rectangle(20,10,622,210);
    for(i=0;i<LONG;i++)
    {
        outp(0x3f8,CHK);
        check_rd_full();
        ecgp[i]=inp(0x3f8)/2;
        if(ecgp[i]>0xc8)
        {
            ecgp[i]=0xc8;
        }
        setcolor(WHITE);
        line(xb+i,yb-ecgp[i],xb+i-1,yb-ecgp[i-1]);
    }
    param();
    for(i=0;i<10;i++){
        outp(0x3f8,EOT); }
}

check_rd_full()
{
    /*función que detecta si el registro de llegada tiene algo*/
    for(;;){
        if( inp(0x3fd) & 0x01 == 0x01) return;
        if(kbhit()) return;
    }
}

```

```

void param(void)
{
    unsigned short int tempe;

    outp(0x3f8,0x26);
    check_rd_full();
    tempe=inp(0x3f8);
    tem=(tempe*0.195312);
    outp(0x3f8,0x27);
    check_rd_full();
    freccs=inp(0x3f8);
    frecc=freccs+freccs/10;
    outp(0x3f8,0x28);
    check_rd_full();
    frecr=inp(0x3f8);
    outp(0x3f8,0x29);
    check_rd_full();
    outp(0x3f8,0x30);
    check_rd_full();
    press=inp(0x3f8);
    outp(0x3f8,0x31);
    check_rd_full();
    presd=inp(0x3f8);

    setcolor(WHITE);
    settxtstyle(DEFAULT_FONT,HORIZ_DIR,1);
    gprintf(260,308,"Frec. Resp. : %d",frecr);
    gprintf(260,252,"Frec. Car. : %d",frecc);
    gprintf(100,252,"Pres. Sist. : %d",press);
    gprintf(100,308,"Pres. Diast. : %d",presd);
    gprintf(420,252,"Temp. : %-2.1f",tem);
    gprintf(100,375,"Cama No.: %d",gpac_pac[cama-1].gcama);
    gprintf(100,420,"Nombre : %s",gpac_pac[cama-1].gnom);

}

/* Función que imprime signos vitales en una impresora de matriz de puntos */

void epon(void)
{
    char m;
    int i,j,k,Msb,Lsb,
        MaxX=getmaxx(),
        MaxY=getmaxy();

```

```

setviewport(0,0,MaxX,MaxY,0);

fprintf(stdprn,"\\x1B%x",31);

Lsb=MaxY & 0x00FF;
Msb=MaxY>>8;
for(j=0;j<=MaxX;j+=8)
{
    fprintf(stdprn,"\\x1B*%c%c%c",0,Lsb,Msb);
    for(i=MaxY;i>=0;i--)
    {
        m=0;
        for(k=0;k<8;k++)
        {
            m<=1;
            if(getpixel(j+k,i))m++;
        }
        fprintf(stdprn,"%c",m);
    }
    fprintf(stdprn,"\\x0D\\x0A");
}
}

```

/ Función que imprime signos vitales en una impresora láser */*

```

void laser(void)
{

    char m,resolucion[3];
    int i,j,k,p,q,xasp,yasp,
        MaxX=getmaxx()+1,
        MaxY=getmaxy()+1;
    static char graph_end[]="\\x1B*rB";
    static char graph_ini[]="\\x1B*E\\x1B&11H\\x1B&10\\x1B*pOX\\x1BpOY\\x1B*!";
    double xprint, yprint,prstep,AspR;

    getaspectratio(&xasp,&yasp);
    AspR=(double)xasp/(double)yasp;

    setviewport(0,0,MaxX,MaxY,0);

    xprint=690.0,
    yprint=500.0,

```

```

strcpy(resolucion,"100");
prstep=7.2/AspR;

fprintf(stdprn,"%s%sR",graph_ini,resolucion);

for(j=0;j<=MaxY;j++)
{
    fprintf(stdprn,"\x1B&a%-.1fh%-.1fv",format(xprint),xprint,
            format(yprint),yprint);
    yprint +=prstep;
    fprintf(stdprn,"\x1B*r1A\x1B*b%dW",MaxX/8);

    for(i=0;i<MaxX/8;i++)
    {
        m=0;
        for(k=0;k<8;k++)
        {
            m<<=1;
            if(getpixel(i*8+k,j))m++;
        }
        fprintf(stdprn,"%c",m);
    }
    fprintf(stdprn,"%s",graph_end);
}
fprintf(stdprn,"\x0C\x1B&10\x1B(8U\x1B(sp10h12vsb3T\x1B&11H");
}

```